



پروژه کنترل مدرن، گزارش بخش شبیه سازی مقاله

استاد: دکتر بلندی

تدریس یار: سرکار خانم قنادیان

نویسنده : سید مهدی موسویون – ۹۹۴۱۳۱۳۶

بهار ۱۴۰۳



فهرست مطالب

لینک دانلود مقاله	۳
۱- خلاصه ای از مقاله	۳
۲- کمیت ها، دینامیک و سیستم اولیه	۴
۳- معادله سیستم حالت	۷
۳-۱ تئوری	۷
۳-۲ شبیه سازی در متلب	۹
۴- کنترل پذیری و رویت پذیری	۱۲
۵- سیستم مینیمال	۱۴
۶- فیدبک حالت	۱۸
۷- طراحی ردیاب استاتیک	۲۱
۷-۱ طراحی ردیاب استاتیک	۲۱
۷-۲ عملکرد سیستم در حضور اغتشاشات	۲۳
۷-۳ عدم قطعیت مدل بر عملکرد سیستم	۲۴
۸- ردیاب انتگرالی	۲۵
۹- طراحی تخمینگر مرتبه کامل	۲۶
۱۰- طراحی تخمینگر کاهش مرتبه	۲۸
۱۱- رگولاتور با تخمینگر مرتبه کامل	۳۱
۱۲- طراحی LQR	۳۳
۱۲-۱ Q ثابت و R متغیر	۳۴
۱۲-۲ Q متغیر و R ثابت	۳۵
۱۳- استفاده از کنترل کننده برای سیستم غیرخطی	۳۷
۱۴- مقایسه کنترل کننده طراحی شده با کنترل کننده اصلی	۴۰

لینک دانلود مقاله

[LQR hybrid approach control of a robotic arm two degrees of freedom](#)

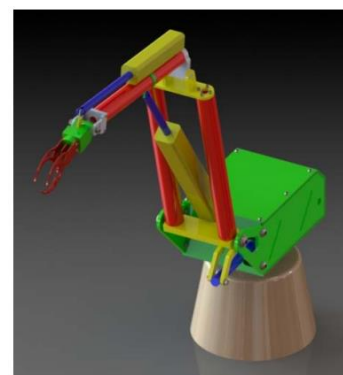
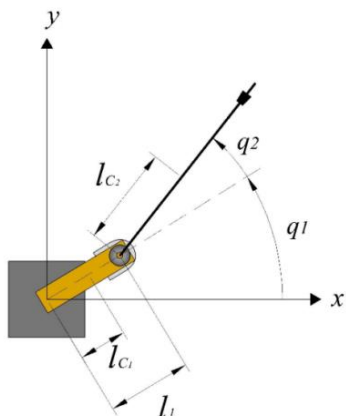
۱- خلاصه ای از مقاله

این مقاله یک سیستم کنترل رگولاتور مربعی خطی (LQR) را برای بازوی روباتیک با دو درجه آزادی پیشنهاد می‌دهد. هدف اصلی حفظ موقعیت عمود بازو در برابر اختلالات با استفاده از نظریه‌های کنترل بهینه کلاسیک و اصول LQR است.

مطالعه با مدل‌سازی ریاضی بازوی روباتیک آغاز می‌شود تا معادلات دینامیکی حرکت و کنترل آن استخراج شود. سپس معادلات غیرخطی سیستم برای تسهیل طراحی کنترل، خطی‌سازی شده و برای شبیه‌سازی رفتار بازوی روباتیک تحت شرایط مختلف با استفاده از MATLAB Simulink به کار گرفته می‌شوند. اجزای کلیدی LQR شامل نمایش حالت-فضا، تابع هزینه و معادله Riccati است. الگوریتم پیاده‌سازی LQR به صورت گام به گام ارائه شده که شامل مقداردهی اولیه، حل معادله Riccati و بهبود تدریجی قانون کنترل است.

نتایج شبیه‌سازی نشان می‌دهند که کنترل‌کننده LQR به طور مؤثری بیش‌ازحد را کاهش داده و زمان نشست را بهبود می‌بخشد. معیارهای عملکرد کلیدی مانند زمان صعود (۰.۳۵ ثانیه)، زمان اوج (۰.۴۵ ثانیه)، زمان نشست (از ۲.۵ به ۱.۵ ثانیه بهبود یافته) و خطای حالت پایدار (کاهش یافته به مقدار ناچیز) بهبود قابل توجهی را نشان می‌دهند.

مقاله همچنین یک رویکرد ترکیبی جدید برای کنترل بهینه سیستم‌های هیبریدی ارائه می‌دهد. این رویکرد از ساختار واریاسیونی سیستم‌های مکانیکی غیرخطی استفاده می‌کند و یک مسئله بهینه‌سازی چند هدفه را فرموله می‌کند. الگوریتمی برای محاسبه جفت بهینه کنترل و مسیر حالت ارائه شده است. نتایج نشان می‌دهند که با استفاده از کنترل هیبریدی LQR می‌توان پاسخ سیستم را بهبود بخشید، از جمله حذف فراجش و کاهش زمان نشست از حدود ۲۰ ثانیه به ۵ ثانیه در حالت گسسته بهبود بخشید.



۲- کمیت ها، دینامیک و سیستم اولیه

مقاله LQR Hybrid Approach Control of a Robotic Arm Two Degrees of Freedom به ارائه سیستمی برای کنترل بهینه یک بازوی رباتیک با دو درجه آزادی با استفاده از روش کنترل خطی مربعی (LQR) اشاره دارد. در این مقاله به مدل سازی ریاضی بازوی رباتیک به منظور حفظ وضعیت عمودی بازو در حضور اغتشاشات پرداخته شده است. سیستمی که این مقاله به آن پرداخته شده یک سیستم غیرخطی بوده که در ادامه مقاله آن را خطی سازی میکند. مقاله یک الگوریتم مفهومی برای محاسبه بهینه زوج کنترل بهینه ارائه می دهد که شامل حل معادله Riccati در بازه های زمانی مشخص و بهبود نتایج با استفاده از تکنیک های بهینه سازی محذب است. در ادامه، به ایجاد سیستم معادلات خطی شده و شبیه سازی آن با استفاده از Simulink در نرم افزار MATLAB می پردازد و نتایج این شبیه سازی نمایان میکند که شبیه سازی پاسخ سیستم در زمان گسسته با استفاده از کنترل هیبریدی LQR، می توان پاسخ سیستم را با حذف افزایشی بیش از حد بهبود بخشید و سیگنال به حالت پایدار خود سریع تر می رسد.

در این مقاله با استفاده از پارامترهای طراحی شده در Solidwork، مدل خطی سیستم ارائه شده و سپس شبیه سازی های مختلف برای ارزیابی عملکرد سیستم انجام شده است.

کمیت های ورودی سیستم

- m_1 = total mass of the first link [kg]
- l_1 = length of the first link [m]
- l_{c1} = distance to the center of mass of the first link [m]
- I_{c1} = moment of inertia of the first link relative to the axis passing through its center of mass [$kg \cdot m^2$]
- m_2 = total mass of the second link [kg]
- l_{c2} = distance to the center of mass of the second link [m]
- I_{c2} = moment of inertia of the second link relative to the axis passing through its center of mass link [m]
- g = acceleration of gravity [m/s^2]

۱. طول لینک ها:

طول لینک اول (1): 0.80278 متر

طول لینک دوم (2): ذکر نشده است

۲. جرم لینک ها:

جرم کل لینک اول (m_1): 0.062402 کیلوگرم

جرم کل لینک دوم (m_2): 0.054284 کیلوگرم

۳. فاصله تا مرکز جرم لینک ها:

فاصله تا مرکز جرم لینک اول (r_1): 0.025912 متر

فاصله تا مرکز جرم لینک دوم (r_2): 0.31406 متر

$$\begin{aligned} m_{11} &= \theta_1 + \theta_2 + 2\theta_3 \cos(q_2) \\ m_{12} &= m_{21} = \theta_2 + \theta_3 \cos(q_2) \\ m_{22} &= \theta_2 \\ c_{11} &= -\theta_3 \sin(q_2) \dot{q}_2 \\ c_{12} &= -\theta_3 \sin(q_2) \dot{q}_1 - \theta_3 \sin(q_2) \dot{q}_2 \\ c_{21} &= \theta_3 \sin(q_2) \dot{q}_1 \\ c_{22} &= 0 \\ g_1 &= \theta_4 g \cos(q_1) + \theta_5 g \cos(q_1 + q_2) \\ g_2 &= \theta_5 g \cos(q_1 + q_2) \\ \det M &= m_{11}m_{22} - m_{21}m_{12} \\ T_1 &= \tau - c_{11}\dot{q}_1 - c_{12}\dot{q}_2 - g_1 \\ T_2 &= 0 - c_{21}\dot{q}_1 - c_{22}\dot{q}_2 - g_2 \end{aligned}$$

۴. شتاب گرانش 9.81 (g) متر بر مجذور ثانیه

۵. ممان اینرسی لینک‌ها:

ممان اینرسی لینک اول: (I1) ذکر نشده است

ممان اینرسی لینک دوم: (I2) ذکر نشده است

کمیت‌های کنترلی سیستم

۱. گشتاورهای اعمال شده به اتصالات بازوی رباتیک: (τ) که به عنوان ورودی‌های

$$\theta_1 = m_1 l_{c1}^2 + m_2 l_1^2 + l_{c1}$$

$$\theta_2 = m_2 l_{c2}^2 + l_{c2}$$

$$\theta_3 = m_2 l_1 l_{c2}$$

$$\theta_4 = m_1 l_{c1} + m_2 l_1$$

کنترلی عمل می‌کنند.

۲. زاویه‌های جابه‌جایی: ($\theta_1 \theta_2$) که وضعیت مکانی اتصالات بازوی رباتیک را نشان می‌دهند.

۳. سرعت‌های زاویه‌ای: ($\omega_1 \omega_2$) که سرعت چرخش اتصالات بازو را مشخص می‌کنند.

۴. ماتریس اینرسی: ($M(q)$) که دینامیک سیستم را توصیف می‌کند.

۵. ماتریس نیروهای کوریولیس و مرکزیت: ($C(q, \dot{q})$) که نیروهای غیر خطی مربوط به حرکت را محاسبه می‌کند.

۶. گشتاور گرانشی: ($g(q)$) که تأثیر نیروی گرانش را نشان می‌دهد.

کمیت‌های خروجی

زمان خیزش 0.35 (Rise Time): ثانیه

زمان اوج 0.45 (Peak Time): ثانیه

زمان نشست 2.5 (Settling Time): ثانیه (برای برخی تست‌ها ۱.۵ ثانیه)

مقدار حالت پایدار 0.019 (Steady State Value):

اوج بیشینه (Overshoot): در سیستم بدون کنترل LQR حدود ۲۴٪ و با کنترل LQR بهبود یافته و حذف شده است.

این نتایج در نمودارهای مربوط به رفتار دو لینک بازوی رباتیک که در نرم افزارهای Matlab و Solidwork مدل سازی و شبیه سازی شده اند، نشان داده شده است .

مدل دینامیکی بازوی رباتیک با دو درجه آزادی با استفاده از روش اویلر-لاگرانژ به صورت زیر بیان می شود.

$$M(q)\ddot{q} + C(q, \dot{q})\dot{q} + g(q) = \tau$$

در این معادله:

q وکتور موقعیت بازو است.

\dot{q} وکتور سرعت بازو است.

\ddot{q} وکتور شتاب بازو است.

$$M(q) = \begin{bmatrix} m_{11} & m_{12} \\ m_{21} & m_{22} \end{bmatrix}$$

$$C(q, \dot{q}) = \begin{bmatrix} c_{11} & c_{12} \\ c_{21} & c_{22} \end{bmatrix}$$

$$g(q) = \begin{pmatrix} g_1 \\ g_2 \end{pmatrix}$$

$M(q)$ ماتریس اینرسی است.

$C(q, \dot{q})$ ماتریس نیروهای کوریولیس و مرکزگرا است.

$$M(\ddot{q}) + C(q, \dot{q})\dot{q} + g(q) = \tau$$

$g(q)$ گشتاور گرانشی است.

τ گشتاور اعمال شده به بازو است.

$$\begin{bmatrix} I_2 + m_2 l_1 l_2 \cos(q_2) & I_1 + I_2 + m_2 l_1 l_2 \cos(q_2) \\ I_2 & I_2 + m_2 l_1 l_2 \cos(q_2) \end{bmatrix} = M(q)$$

$$\begin{bmatrix} -m_2 l_1 l_2 \sin(q_2) (\dot{q}_1 + \dot{q}_2) & -m_2 l_1 l_2 \sin(q_2) \dot{q}_2 \\ 0 & m_2 l_1 l_2 \sin(q_2) \dot{q}_1 \end{bmatrix} = C(q, \dot{q})$$

$$\begin{bmatrix} m_1 g l_1 \cos(q_1) + m_2 g (l_1 \cos(q_1) + l_2 \cos(q_1 + q_2)) \\ m_2 g l_2 \cos(q_1 + q_2) \end{bmatrix} = g(q)$$

• I_1 و I_2 ممان اینرسی لینک های اول و دوم هستند.

• m_1 و m_2 جرم لینک های اول و دوم هستند.

• l_1 طول لینک اول است.

• c_1 و c_2 فاصله تا مرکز جرم لینک های اول و دوم هستند.

• G شتاب گرانش است.

۳- معادله سیستم حالت

۳-۱ تئوری

Above

$$\dot{x}_1 = AX + BU$$

$$\begin{bmatrix} \dot{x} \\ \ddot{x} \\ \dot{\phi} \\ \ddot{\phi} \end{bmatrix} = \begin{bmatrix} 0 & 1 \\ 0 & 108.69545 \\ 0 & 0 \\ 0 & -112.387 \end{bmatrix} \begin{bmatrix} x \\ \dot{x} \end{bmatrix} + \begin{bmatrix} 0 \\ -24.959145 \\ 0 \\ 85.0663 \end{bmatrix} \begin{bmatrix} \ddot{x} \\ \ddot{\phi} \end{bmatrix} + \begin{bmatrix} 0 \\ 13.930735 \\ 0 \\ -20.58139 \end{bmatrix} u$$

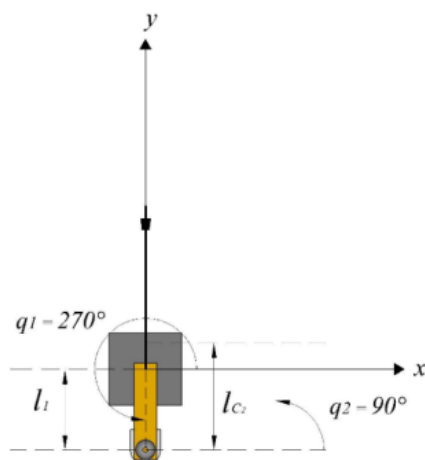
Half

$$\dot{x}_1 = AX + BU$$

$$\begin{bmatrix} \dot{x} \\ \ddot{x} \\ \dot{\phi} \\ \ddot{\phi} \end{bmatrix} = \begin{bmatrix} 0 & 1 \\ 0 & -108.69545 \\ 0 & 0 \\ 0 & 105.039 \end{bmatrix} \begin{bmatrix} x \\ \dot{x} \end{bmatrix} + \begin{bmatrix} 0 \\ 24.959145 \\ 0 \\ 35.148095 \end{bmatrix} \begin{bmatrix} \ddot{x} \\ \ddot{\phi} \end{bmatrix} + \begin{bmatrix} 0 \\ 13.9307 \\ 0 \\ -7.281015 \end{bmatrix} u$$

تعریف متغیرها:

- θ_1 زاویه لینک اول نسبت به بدنه
- θ_2 زاویه لینک دوم نسبت به بدنه
- ω_1 سرعت زاویه‌ای لینک اول
- ω_2 سرعت زاویه‌ای لینک دوم
- τ_1 گشتاور اعمال شده به لینک اول
- τ_2 گشتاور اعمال شده به لینک دوم



بردارهای حالت و ورودی:

بردار حالت x شامل زاویه‌ها و سرعت‌های زاویه‌ای لینک‌ها است.

$$x = [\theta_1 \ \omega_1 \ \theta_2 \ \omega_2]^T$$

بردار ورودی u شامل گشتاورهای اعمال شده به لینک‌ها است.

$$u = [\tau_1 \ \tau_2]^T$$

بردار خروجی y وضعیت و سرعت لینک‌ها را نشان می‌دهد.

$$\begin{bmatrix} \dot{x} \\ \ddot{x} \\ \dot{\phi} \\ \ddot{\phi} \end{bmatrix} = \begin{bmatrix} 0 & 1 & 0 & 0 \\ 0 & \frac{-(I+ml^2)b}{I(M+m)+(Mml^2)} & \frac{m^2gl^2}{I(M+m)+(Mml^2)} & 0 \\ 0 & 0 & 0 & 1 \\ 0 & \frac{-mlb}{I(M+m)+(Mml^2)} & \frac{mgl(M+m)}{I(M+m)+(Mml^2)} & 0 \end{bmatrix} \begin{bmatrix} \dot{x} \\ \ddot{x} \\ \dot{\phi} \\ \ddot{\phi} \end{bmatrix} + \begin{bmatrix} 0 \\ \frac{I+ml^2}{I(M+m)+(Mml^2)} \\ 0 \\ \frac{ml}{I(M+m)+(Mml^2)} \end{bmatrix}$$

$$y = \begin{bmatrix} 1 & 0 & 0 & 0 \\ 0 & 0 & 1 & 0 \end{bmatrix}$$

معادلات فضای حالت:

معادلات فضای حالت برای سیستم خطی شده به صورت زیر بیان می‌شوند:

$$\dot{x} = Ax + Bu$$

$$y = Cx + Du$$

خطی‌سازی حول نقاط تعادل:

در این مقاله، دو مجموعه معادلات خطی برای دو حالت مختلف سیستم وجود دارد: حالت بالا و حالت میانی.

۱. حالت بالا:

در این حالت، بازوهای رباتیک در موقعیتی قرار دارند که لینک‌ها در وضعیت بالایی نسبت به بدنه هستند. معادلات خطی شده در این حالت با خطی‌سازی دینامیک سیستم حول نقطه تعادل در این موقعیت بدست آمده‌اند. این معادلات رفتار سیستم را در نزدیکی این نقطه تعادل توصیف می‌کنند و برای طراحی کنترل‌کننده‌های مناسب برای این وضعیت استفاده می‌شوند.

$$\begin{bmatrix} \dot{x} \\ \ddot{x} \\ \dot{\phi} \\ \ddot{\phi} \end{bmatrix} = \begin{bmatrix} 0 & 1 & 0 & 0 \\ 0 & 108.69545 & -24.959145 & 0 \\ 0 & 0 & 0 & 1 \\ 0 & -112.387 & 85.0663 & 0 \end{bmatrix} \begin{bmatrix} \dot{x} \\ \ddot{x} \\ \dot{\phi} \\ \ddot{\phi} \end{bmatrix} + \begin{bmatrix} 0 \\ 13.930735 \\ 0 \\ -20.58139 \end{bmatrix} u$$

۲. حالت میانی:

در این حالت، بازوهای رباتیک در موقعیتی قرار دارند که لینک‌ها در وضعیت میانی نسبت به بدنه هستند. معادلات خطی شده در این حالت نیز با خطی‌سازی دینامیک سیستم حول نقطه تعادل در این موقعیت بدست آمده‌اند. این معادلات رفتار سیستم را در نزدیکی این نقطه تعادل توصیف می‌کنند و برای طراحی کنترل‌کننده‌های مناسب برای این وضعیت استفاده می‌شوند.

$$\begin{bmatrix} \dot{x} \\ \ddot{x} \\ \dot{\Phi} \\ \ddot{\Phi} \end{bmatrix} = \begin{bmatrix} 0 & 1 & 0 & 0 \\ 0 & -108.69545 & 24.959145 & 0 \\ 0 & 0 & 0 & 1 \\ 0 & 105.039 & 35.148095 & 0 \end{bmatrix} \begin{bmatrix} x \\ \dot{x} \\ \Phi \\ \dot{\Phi} \end{bmatrix} + \begin{bmatrix} 0 \\ 13.9307 \\ 0 \\ -7.281015 \end{bmatrix} u$$

تفاوت خطی‌سازی در دو حالت:

- **حالت بالا:** در این حالت، سیستم به طور کلی پایداری بیشتری دارد و معادلات خطی شده ساده‌تر هستند. تأثیرات غیرخطی و تعاملات بین لینک‌ها در این حالت کمتر است.
- **حالت میانی:** در این حالت، سیستم پایداری کمتری دارد و معادلات خطی شده پیچیده‌تر هستند. تأثیرات غیرخطی و تعاملات بین لینک‌ها در این حالت بیشتر است و باید در طراحی کنترل‌کننده‌ها مدنظر قرار گیرند.

روش خطی‌سازی:

معادلات خطی شده در این مقاله با استفاده از روش تقریب خطی (approximate linearization) بدست آمده‌اند. این روش شامل محاسبه مشتقات جزئی معادلات دینامیکی غیرخطی نسبت به متغیرهای حالت و ورودی حول نقاط تعادل می‌باشد. با این خطی‌سازی، مدل خطی بدست آمده نشان‌دهنده رفتار دینامیکی سیستم در نزدیکی نقاط تعادل است و برای طراحی کنترل‌کننده‌های خطی مانند LQR مناسب است.

۲-۳ شبیه سازی در متلب

در این مسئله، سیستم با استفاده از متغیرهای زیر برای نمایش فضای حالت تعریف شده است:

این متغیرها پارامترهایی هستند که در مدل فضای حالت سیستم استفاده می‌شوند. هر کدام از این متغیرها یک مقدار ثابت را نمایان می‌کنند.

سیستم دو حالت "Up" و "Middle" دارد. برای هر یک از این حالات، ماتریس‌های A و B داده شده‌اند که معادله‌ی فضای حالت سیستم را مشخص می‌کنند. با استفاده از توابع ss در MATLAB، سیستم خطی معادل با این ماتریس‌ها ساخته شده است.

```
sys_up = ss(A_up, B_up, eye(4), zeros(4,1));
```

در این بخش، سیستم معادل با حالت "Up" ساخته شده است. ماتریس A_{up} و بردار B_{up} به عنوان ورودی داده شده‌اند. خروجی sys_{up} یک سیستم خطی است که توسط MATLAB ساخته شده و مشخصات آن از جمله ماتریس حالت و ماتریس ورودی-خروجی نمایش داده می‌شود.

System for Up position:

$sys_{up} =$

A =

	x1	x2	x3	x4
x1	0	1	0	0
x2	0	0	108.7	-112.4
x3	0	0	0	1
x4	0	-24.96	85.07	0

B =

	u1
x1	0
x2	13.93
x3	0
x4	-20.58

C =

	x1	x2	x3	x4
y1	1	0	0	0
y2	0	1	0	0
y3	0	0	1	0
y4	0	0	0	1

D =

	u1
y1	0
y2	0
y3	0
y4	0

Continuous-time state-space model.

```
sys_mid = ss(A_mid, B_mid, eye(4), zeros(4,1));
```

در این بخش نیز سیستم معادل با حالت "Middle" ساخته شده است، با استفاده از ماتریس‌های Amid و Bmid مانند حالت قبل، خروجی sys_mid نشان دهنده‌ی سیستم خطی معادل است که MATLAB آن را ایجاد کرده است.

System for Middle position:
sys_mid =

```
A =
      x1      x2      x3      x4
x1      0      1      0      0
x2      0      0 -108.7    105
x3      0      0      0      1
x4      0    24.96    35.15      0
```

```
B =
      u1
x1      0
x2    13.93
x3      0
x4   -7.281
```

```
C =
      x1  x2  x3  x4
y1      1   0   0   0
y2      0   1   0   0
y3      0   0   1   0
y4      0   0   0   1
```

```
D =
      u1
y1      0
y2      0
y3      0
y4      0
```

Continuous-time state-space model.

```
disp('Eigenvalues for Up position:');
eig(A_up)
```

```
disp('Eigenvalues for Middle position:');
eig(A_mid)
```

این بخش مقادیر ویژه ماتریس Aup و Bup را نمایش می‌دهد. مقادیر ویژه در تحلیل سیستم‌های دینامیکی مهم هستند زیرا خصوصیات اصلی سیستم را مشخص می‌کنند.

Eigenvalues for Up position:

```
ans = 4x1
      0
 -54.2234
  53.2845
   0.9390
```

Eigenvalues for Middle position:

```
ans = 4x1
      0
 -52.0476
  51.0261
   1.0215
```

۴- کنترل پذیری و رویت پذیری

کنترل پذیری و رویت پذیری نمایش فضای حالت بدست آمده را بررسی کنید؟ آیا امکان طراحی فیدبک حالت و تخمینگر حالت برای این نمایش وجود دارد؟ اگر نمایش فضای حالت بدست آمده کنترلناپذیر است آن را به زیرسیستمهای کنترلپذیر و کنترلناپذیر تفکیک کنید. همچنین اگر نمایش فضای حالت بدست آمده رویتناپذیر است آن را به زیرسیستمهای رویتپذیر و رویتناپذیر تفکیک کنید.

در این بخش از تحلیل، ما می خواهیم کنترل پذیری و رویت پذیری سیستم را بررسی کنیم. این تحلیل به ما اطلاعاتی ارائه می دهد که برای طراحی کنترل گرها و تخمین گرهای حالت بسیار حیاتی هستند. با استفاده از نمایش فضای حالت برای دو حالت مختلف "Up" و "Middle" سیستم، قصد داریم تا بررسی کنیم که آیا این حالات قابلیت کنترل و تخمین دقیق وضعیت حالت های سیستم را دارند یا خیر.

```
Mc_up = ctrb(A_up, B_up);
rank_Mc_up = rank(Mc_up);
disp(['Rank of controllability matrix (Up): ', num2str(rank_Mc_up)]);
if rank_Mc_up == size(A_up, 1)
    disp('The system is controllable (Up)');
else
    disp('The system is not controllable (Up)');
end
```

Mc_up ماتریس کنترل پذیری برای حالت "Up"، که توسط تابع ctrb محاسبه شده است.

rank_Mc_up رتبه ماتریس کنترل پذیری برای حالت "Up" میباشد.

Controllability and Observability Analysis:
Up position:

```
Rank of controllability matrix (Up): 4
The system is controllable (Up)
```

```
Mo_up = obsv(A_up, eye(4));  
rank_Mo_up = rank(Mo_up);  
disp(['Rank of observability matrix (Up): ', num2str(rank_Mo_up)]);  
if rank_Mo_up == size(A_up, 1)  
    disp('The system is observable (Up)');  
else  
    disp('The system is not observable (Up)');  
end
```

Mo_up ماتریس رویت پذیری برای حالت "Up" ، که توسط تابع obsv محاسبه شده است .

rank_Mo_up رتبه ماتریس رویت پذیری برای حالت "Up" میباشد.

Rank of observability matrix (Up): 4

The system is observable (Up)

پس به این صورت سیستم ما در حالت بالا هم رویت پذیر و هم کنترل پذیر میباشد، برای حالت میانی نیز به همین ترتیب اما این بار برای Middle تکرار میکنیم که نتایج در زیر آورده شده است.

Middle position:

Rank of controllability matrix (Middle): 4

The system is controllable (Middle)

Rank of observability matrix (Middle): 4

The system is observable (Middle)

تحلیل کنترل پذیری و رویت پذیری:

اگر سیستم کنترل پذیر باشد، این به معنای این است که می توان با استفاده از ورودی های موجود به طور کامل و بدون مشکلات، وضعیت حالت های سیستم را کنترل کرد. اگر سیستم رویت پذیر باشد، این به معنای این است که وضعیت حالت های سیستم با استفاده از خروجی های موجود به درستی قابل تخمین است.

تفکیک بین زیرسیستم های کنترل پذیر و کنترل ناپذیر، و رویت پذیر و رویت ناپذیر:

اگر سیستم کنترل پذیر باشد اما رویت ناپذیر باشد، بخشی از حالت های سیستم که از طریق خروجی های موجود قابل تخمین نیستند. اگر سیستم رویت پذیر باشد اما کنترل ناپذیر باشد، بخشی از حالت های سیستم که با ورودی های موجود قابل کنترل نیستند.

امکان طراحی فیدبک حالت و تخمین گر حالت:

اگر سیستم همزمان کنترل پذیر و رویت پذیر باشد، امکان طراحی کنترل گر ها و تخمین گر های حالت وجود دارد که به صورت موثر و دقیق از ورودی ها و خروجی های سیستم استفاده کنند.

۵- سیستم مینیمال

در صورتی که نمایش فضای حالت بدست آمده در قسمت قبل مینیمال نیست، یک نمایش فضای حالت مینیمال برای سیستم بدست آورید؟

در این بخش از تحلیل، ما به بررسی نمایش فضای حالت مینیمال برای سیستم‌هایی که در قسمت‌های قبلی بررسی شده‌اند، می‌پردازیم. هدف از این تحلیل، به دست آوردن یک نمایش فضای حالت ساده‌تر و مینیمال برای سیستم‌ها است که معمولاً اطلاعات کافی و کامل‌تری را درباره خصوصیات دینامیکی و عملکرد سیستم‌ها فراهم می‌آورد. این نمایش‌های فضای حالت اساسی هستند برای طراحی کنترل‌گرها و تخمین‌گرهای حالت که هدف آن‌ها بهینه‌سازی عملکرد و ایمنی سیستم است.

در اینجا از تابع 'minimal_realization' استفاده می‌کنیم تا نمایش فضای حالت مینیمال را برای سیستم‌های "Up" و "Middle" به دست آوریم. این تحلیل شامل محاسبه ماتریس‌های A_min، B_min و C_min است که ساختار ساده‌تر و کاربردی‌تری از سیستم را نشان می‌دهند.

```
C_up = eye(4);  
[A_min_up, B_min_up, C_min_up] = minimal_realization(A_up, B_up, C_up);  
  
C_mid = eye(4);  
[A_min_mid, B_min_mid, C_min_mid] = minimal_realization(A_mid, B_mid, C_mid);
```

این بخش از کد ماتریس‌های C را برای دو حالت "بالا" و "وسط" به صورت ماتریس واحد 4×4 تعریف می‌کند. سپس با استفاده از تابع minimal_realization، نمایش فضای حالت مینیمال را برای هر دو حالت محاسبه می‌کند. این تابع ماتریس‌های A، B و C اولیه را گرفته و ماتریس‌های مینیمال شده A_min، B_min و C_min را برمی‌گرداند. این فرآیند برای کاهش پیچیدگی سیستم و حذف حالت‌های غیرقابل کنترل یا غیرقابل مشاهده انجام می‌شود.

Minimal Realization for Up position:

```
A_min_up:  
17.3368 -109.9351 -7.6333 -96.2077  
-23.3995 -18.2759 -11.6135 -97.8676  
0.0001 0.0001 0.4203 3.3717  
0.0000 0.0000 0.0647 0.5188  
  
B_min_up:  
-16.5549  
18.5186  
-0.7773  
0.2288
```

```
C_min_up:
-0.0052    0.0385    0.9916   -0.1236
-0.9910   -0.1337    0.0011    0.0088
 0.0089    0.0009    0.1237    0.9923
 0.1336   -0.9903    0.0385   -0.0051
```

Minimal Realization for Middle position:

```
A_min_mid:
-50.1129   81.9814  -61.0193   95.6491
  2.3865   49.0901   -6.2201   12.1109
 -0.0004   -0.0090    0.9757   -1.4236
  0.0000    0.0003   -0.0323    0.0471

B_min_mid:
15.6940
-0.8224
-0.3106
-0.0556

C_min_mid:
-0.0164    0.0358   -0.8241   -0.5650
  0.9094    0.4159   -0.0055    0.0079
  0.0085    0.0044    0.5655   -0.8247
 -0.4156    0.9087    0.0322    0.0227
```

```
disp('Eigenvalues for Minimal Up position:');
eig(A_min_up)
disp('Eigenvalues for Minimal Middle position:');
eig(A_min_mid)
```

این بخش از کد مقادیر ویژه ماتریس‌های A_{min} را برای هر دو حالت محاسبه و نمایش می‌دهد. مقادیر ویژه اطلاعات مهمی در مورد پایداری و رفتار دینامیکی سیستم ارائه می‌دهند. مقادیر ویژه با قسمت حقیقی منفی نشان‌دهنده پایداری سیستم هستند، در حالی که مقادیر ویژه با قسمت حقیقی مثبت نشان‌دهنده ناپایداری هستند. همچنین، مقادیر ویژه مختلط نشان‌دهنده رفتار نوسانی سیستم هستند.

Eigenvalues for Minimal Up position:

```
ans = 4x1
 53.2845
-54.2234
  0.9390
  0.0000
```

Eigenvalues for Minimal Middle position:

```
ans = 4x1
-52.0476
 51.0261
  1.0215
  0.0000
```

```
sys_min_up = ss(A_min_up, B_min_up, C_min_up, 0);
sys_min_mid = ss(A_min_mid, B_min_mid, C_min_mid, 0);
```

```
disp('Minimal System for Up position:');
sys_min_up
disp('Minimal System for Middle position:');
sys_min_mid
```

در این قسمت نهایی، کد با استفاده از ماتریس‌های مینیمال شده، سیستم‌های فضای حالت مینیمال را برای هر دو حالت ایجاد می‌کند. این سیستم‌ها با استفاده از تابع ss ساخته می‌شوند و سپس نمایش داده می‌شوند. ماتریس D در این سیستم‌ها صفر در نظر گرفته شده است. این نمایش نهایی، یک توصیف کامل از سیستم‌های مینیمال شده را ارائه می‌دهد که شامل تمام اطلاعات لازم برای تحلیل‌های بیشتر و طراحی کنترل‌کننده است. این سیستم‌های مینیمال می‌توانند برای شبیه‌سازی، تحلیل پایداری، و طراحی کنترل‌کننده استفاده شوند.

```
Minimal System for Up position:
sys_min_up =
```

```
A =
      x1      x2      x3      x4
x1      17.34     -109.9    -7.633   -96.21
x2      -23.4     -18.28   -11.61   -97.87
x3      0.0001237  0.0001017   0.4203    3.372
x4      1.903e-05  1.565e-05   0.06467   0.5188
```

```
B =
      u1
x1     -16.55
x2      18.52
x3     -0.7773
x4      0.2288
```

```
C =
      x1      x2      x3      x4
y1    -0.005186   0.03851   0.9916   -0.1236
y2     -0.991    -0.1337   0.001112  0.008831
y3     0.008865  0.0008599   0.1237   0.9923
y4      0.1336   -0.9903   0.03852  -0.005138
```

```
D =
      u1
y1      0
y2      0
y3      0
y4      0
```

Continuous-time state-space model.

Minimal System for Middle position:
sys_min_mid =

A =

	x1	x2	x3	x4
x1	-50.11	81.98	-61.02	95.65
x2	2.387	49.09	-6.22	12.11
x3	-0.0004487	-0.009035	0.9757	-1.424
x4	1.484e-05	0.0002989	-0.03228	0.04709

B =

	u1
x1	15.69
x2	-0.8224
x3	-0.3106
x4	-0.05561

C =

	x1	x2	x3	x4
y1	-0.01644	0.03577	-0.8241	-0.565
y2	0.9094	0.4159	-0.005468	0.007854
y3	0.008499	0.004427	0.5655	-0.8247
y4	-0.4156	0.9087	0.03219	0.02267

D =

	u1
y1	0
y2	0
y3	0
y4	0

Continuous-time state-space model.

با استفاده از نمایش فضای حالت مینیمال، ما اطلاعات بیشتری درباره ساختار دینامیکی و خصوصیات سیستم‌ها به دست آورده‌ایم. ماتریس‌های A_{min} که شامل مقادیر ویژه مهمی هستند، امکان می‌دهند تا به طور دقیق‌تر و با دانش بیشتری روی تحلیل و طراحی سیستم‌های کنترلی متمرکز شویم.

با تحلیل و به دست آوردن نمایش فضای حالت مینیمال برای سیستم‌های "Up" و "Middle"، ما به یک پایه قوی‌تر برای تحلیل دقیق‌تر و طراحی بهینه‌تر کنترل‌گرها و تخمین‌گرهای حالت دست یافته‌ایم. این اطلاعات برای بهبود عملکرد و اعتماد به سیستم‌های پیچیده و مهندسی از اهمیت بالایی برخوردار هستند.

۶- فیدبک حالت

برای نمایش فضای حالت بدست آمده برای سیستم، فیدبک حالت را چنان طراحی کنید تا قطبهای سیستم حلقه بسته در مکانهای دلخواهی در سمت چپ محور $j\omega$ قرار بگیرند. پاسخ پله و متغیرهای حالت سیستم را رسم کنید. قطبها و صفرهای سیستم حلقه بسته و حلقه باز را با یکدیگر مقایسه کنید. توجه: این مرحله را برای جانمایی قطبهای دور و نزدیک انجام دهید و سیگنال کنترلی و بهره فیدبک حالت بدست آمده در هر دو حالت را با یکدیگر مقایسه کنید.

این سؤال به طراحی فیدبک حالت برای سیستم در دو موقعیت "بالا" و "وسط" می پردازد. هدف اصلی، جایگذاری قطبهای سیستم حلقه بسته در مکانهای مطلوب در سمت چپ محور $j\omega$ است. این کار برای بهبود پایداری و عملکرد سیستم انجام می شود. سپس، پاسخ پله و متغیرهای حالت سیستم رسم می شوند تا رفتار دینامیکی سیستم را نشان دهند. در نهایت، قطبها و صفرهای سیستم حلقه بسته و حلقه باز مقایسه می شوند تا تأثیر فیدبک حالت بر دینامیک سیستم مشخص شود. این فرآیند برای دو حالت قطبهای دور و نزدیک انجام می شود تا تأثیر محل قطبها بر سیگنال کنترلی و بهره فیدبک حالت بررسی شود.

% Pole placement for Up position

```
p_up = [-2 -4 -6 -8];  
K_up = place(A_up, B_up, p_up);  
A_fb_up = A_up - B_up * K_up;  
sys_fb_up = ss(A_fb_up, B_up, eye(4), zeros(4,1));
```

% Pole placement for Middle position

```
p_mid = [-2 -4 -6 -8];  
K_mid = place(A_mid, B_mid, p_mid);  
A_fb_mid = A_mid - B_mid * K_mid;  
sys_fb_mid = ss(A_fb_mid, B_mid, eye(4), zeros(4,1));
```

این قسمت از کد به طراحی فیدبک حالت برای هر دو موقعیت می پردازد. ابتدا مکانهای مطلوب برای قطبهای سیستم حلقه بسته تعیین می شود (در اینجا [-2 -4 -6 -8]). سپس با استفاده از تابع `place`، ماتریس بهره فیدبک حالت K محاسبه می شود. ماتریس A جدید برای سیستم حلقه بسته با کم کردن حاصلضرب B و K از A اصلی به دست می آید. در نهایت، سیستمهای فضای حالت جدید برای حالت حلقه بسته ایجاد می شوند.

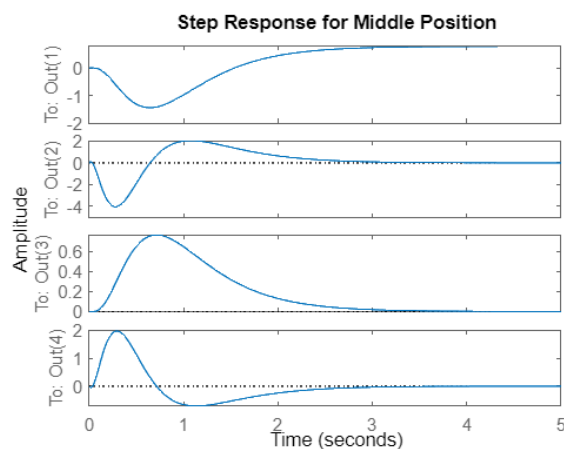
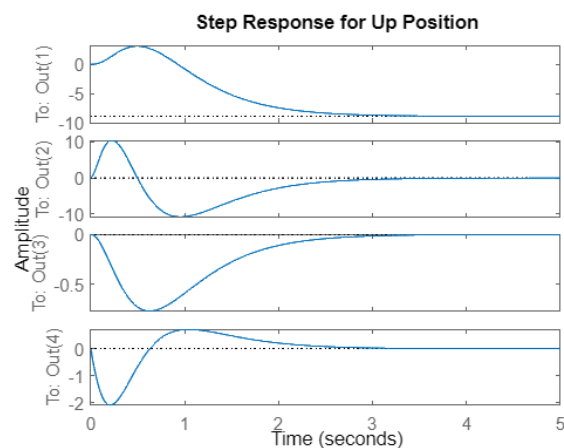
% Open loop poles

```
open_loop_pole_up = pole(sys_up);  
open_loop_pole_mid = pole(sys_mid);
```

% Closed loop poles

```
close_loop_pole_up = pole(sys_fb_up);  
close_loop_pole_mid = pole(sys_fb_mid);
```

این بخش از کد قطب‌های سیستم‌های حلقه باز و حلقه بسته را برای هر دو موقعیت محاسبه می‌کند. این قطب‌ها برای مقایسه و ارزیابی تأثیر فیدبک حالت بر دینامیک سیستم استفاده خواهند شد.



% State variables over time

t = 0:0.01:5;

x_up = zeros(4, length(t));

x_mid = zeros(4, length(t));

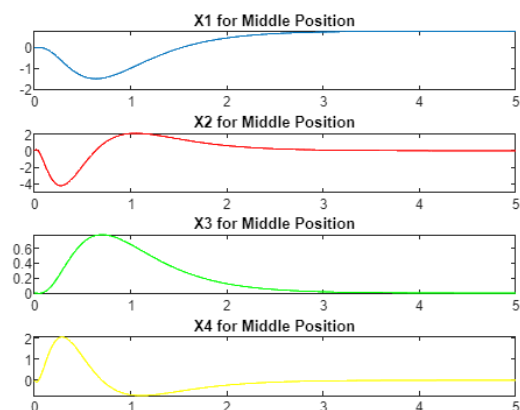
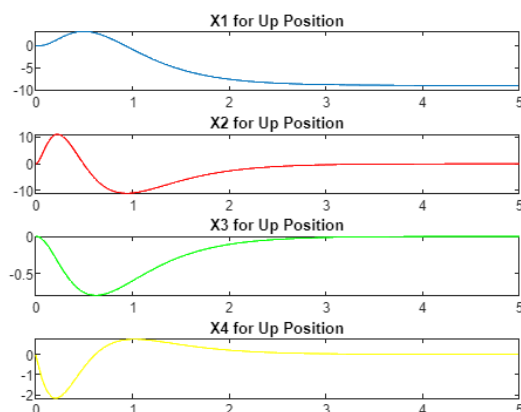
% Simulate state responses

for i = 2:length(t)

x_up(:, i) = x_up(:, i-1) + 0.01 * (A_fb_up * x_up(:, i-1) + B_up);

x_mid(:, i) = x_mid(:, i-1) + 0.01 * (A_fb_mid * x_mid(:, i-1) + B_mid);

end



Open Loop Poles for Up Position:

0
-54.2234
53.2845
0.9390

Closed Loop Poles for Up Position:

-8.0000
-6.0000
-4.0000
-2.0000

Open Loop Poles for Middle Position:

0
-52.0476
51.0261
1.0215

Closed Loop Poles for Middle Position:

-8.0000
-6.0000
-4.0000
-2.0000

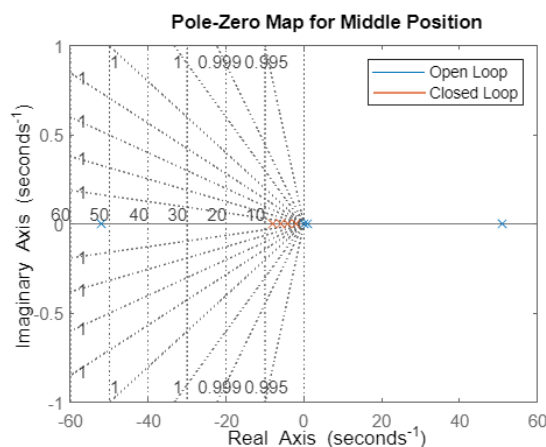
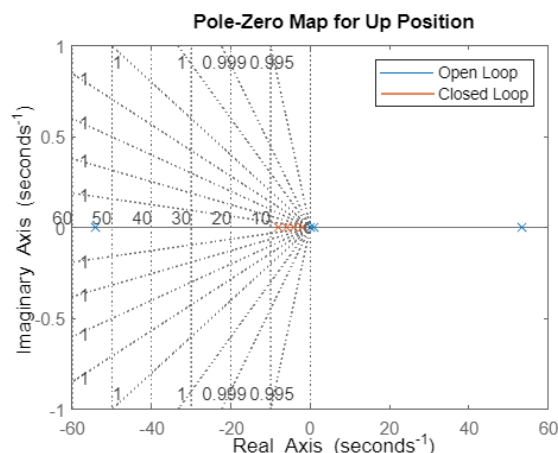
figure;

```
pzmap(sys_up);  
hold on;  
pzmap(sys_fb_up);  
title('Pole-Zero Map for Up Position');  
legend('Open Loop', 'Closed Loop');  
grid on
```

figure;

```
pzmap(sys_mid);  
hold on;  
pzmap(sys_fb_mid);  
title('Pole-Zero Map for Middle Position');  
legend('Open Loop', 'Closed Loop');  
grid on
```

این بخش از کد به ترسیم نقشه‌های قطب-صفر برای سیستم‌ها در دو موقعیت "بالا" و "وسط" می‌پردازد. با استفاده از تابع pzmap، نقشه قطب-صفر برای سیستم حلقه باز (sys_up یا sys_mid) رسم می‌شود. در ادامه، نقشه قطب-صفر برای سیستم حلقه بسته (sys_fb_up یا sys_fb_mid) روی همان نمودار رسم می‌شود. این نمودارها امکان مقایسه بصری موقعیت قطب‌ها و صفرها را در حالت‌های حلقه باز و حلقه بسته برای هر دو موقعیت فراهم می‌کنند، که برای تحلیل تأثیر فیدبک حالت بر دینامیک سیستم بسیار مفید است.



۷- طراحی ردیاب استاتیک

برای سیستم مورد بررسی یک ردیاب استاتیک طراحی کنید. عملکرد این ردیاب را در برابر حضور اغتشاشهای مختلف و عدم قطعیت در مدل سیستم ارزیابی کنید.

• نکته ای که وجود دارد این است که از این جا به بعد برای عدم تکرار و سادگی کار تنها **حالت بالایی** محاسبه میشود.

این سؤال به طراحی یک ردیاب استاتیک برای سیستم مورد بررسی و ارزیابی عملکرد آن در برابر اغتشاشات مختلف و عدم قطعیت در مدل سیستم می پردازد. هدف اصلی، ایجاد یک سیستم کنترلی است که بتواند ورودی مرجع را به خوبی دنبال کند، حتی در حضور عوامل مختل کننده خارجی و عدم دقت در مدل سازی سیستم.

روند حل این مسئله شامل چند مرحله اصلی است:

۱. طراحی ردیاب استاتیک با استفاده از فیدبک حالت

۲. ارزیابی عملکرد سیستم در حضور اغتشاشات

۳. بررسی تأثیر عدم قطعیت مدل بر عملکرد سیستم

۷-۱ طراحی ردیاب استاتیک

در این قسمت ابتدا باید معکوس تابع تبدیل به عنوان ضریب P محاسبه کنیم.

$$P = \text{inv}(C * \text{inv}(-A_{fb}) * B)$$

```
A_up = [0 1 0 0;
        0 0 108.69545 -112.387;
        0 0 0 1;
        0 -24.959145 85.0663 0];
B_up = [0; 13.930735; 0; -20.58139];
C_up = eye(4);
D_up = zeros(4, 1);
% Desired pole locations for Up position
p_up = [-2 -4 -6 -8];
K_up = place(A_up, B_up, p_up);
A_fb_up = A_up - B_up * K_up;

% Static state feedback tracker design
P_up = pinv(C_up * inv(-A_fb_up) * B_up)
B_st_up = B_up * P_up

% Adjust D_up to have the same number of columns as B_st_up
D_up = zeros(size(C_up, 1), size(B_st_up, 2));

% State-space system with state feedback
sys_fb_st_up = ss(A_fb_up, B_st_up, C_up, D_up);
```

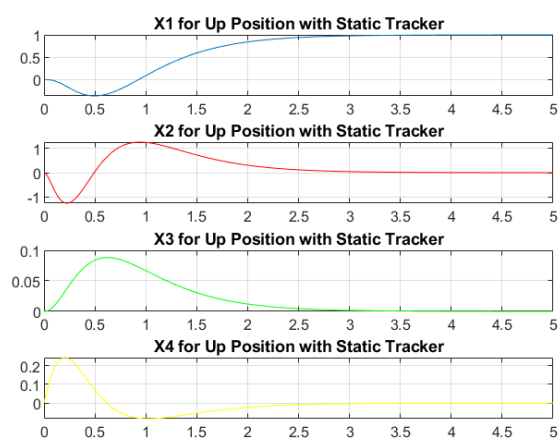
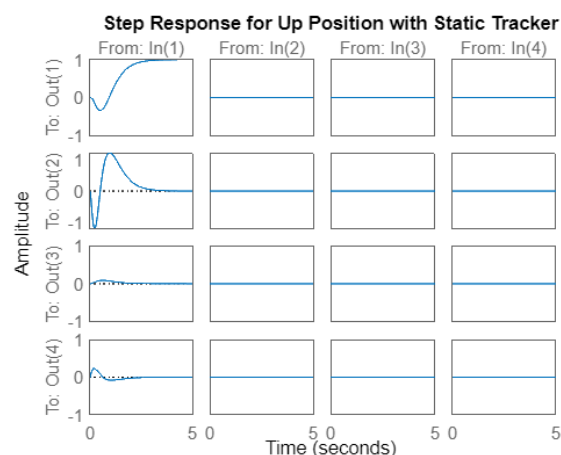
این بخش از کد به تعریف ماتریس‌های سیستم و طراحی ردیاب استاتیک می‌پردازد. ابتدا ماتریس‌های A ، B ، C و D برای موقعیت "بالا" تعریف می‌شوند. سپس، با استفاده از تابع `place`، ماتریس بهره فیدبک حالت K محاسبه می‌شود. ماتریس A جدید برای سیستم حلقه بسته (A_{fb_up}) محاسبه می‌شود. در ادامه، ماتریس P برای ردیاب استاتیک با استفاده از معکوس مور-پنروز محاسبه می‌شود و ماتریس B جدید (B_{st_up}) برای سیستم با ردیاب استاتیک به دست می‌آید. در نهایت، سیستم فضای حالت جدید با فیدبک حالت و ردیاب استاتیک ایجاد می‌شود.

```
P_up = 1x4
    -0.1122         0         0         0

B_st_up = 4x4
         0         0         0         0
    -1.5632         0         0         0
         0         0         0         0
     2.3094         0         0         0
```

```
% Simulation parameters
t = 0:0.01:5;
x_st_up = zeros(4, length(t));
% Simulate state responses with static tracker
for i = 2:length(t)
    x_st_up(:, i) = x_st_up(:, i-1) + 0.01 * (A_fb_up * x_st_up(:, i-1) + B_st_up(:, 1));
end
```

این بخش از کد به شبیه سازی پاسخ سیستم با ردیاب استاتیک می پردازد. ابتدا پارامترهای شبیه سازی تعریف می شوند و سپس با استفاده از یک حلقه for ، پاسخ حالت سیستم محاسبه می شود. در نهایت، پاسخ پله سیستم با استفاده از تابع step رسم می شود.



۷-۲ عملکرد سیستم در حضور اغتشاشات

% Evaluate performance in presence of disturbances

% Adding disturbances to the system

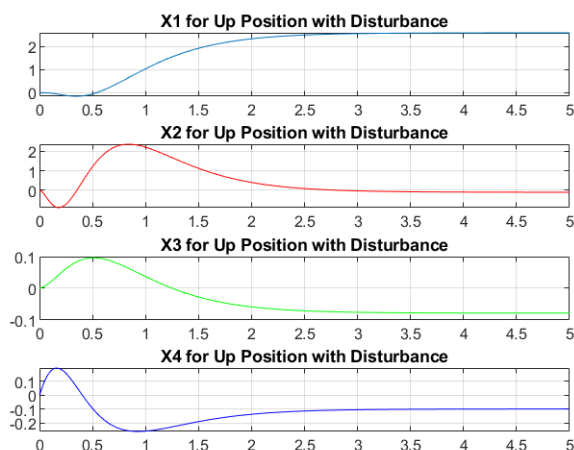
disturbance = [0.1; 0.05; 0.1; 0.05];

x_dist_up = zeros(4, length(t));

for i = 2:length(t)

 x_dist_up(:, i) = x_dist_up(:, i-1) + 0.01 * (A_fb_up * x_dist_up(:, i-1) + B_st_up(:, 1) + disturbance);

end



این بخش از کد به ارزیابی عملکرد سیستم در حضور اغتشاشات می پردازد. یک بردار اغتشاش نمونه تعریف می شود و پاسخ سیستم در حضور این اغتشاش محاسبه می شود.

۳-۷ عدم قطعیت مدل بر عملکرد سیستم

% Evaluate performance in presence of model uncertainty

% Adding model uncertainty to the system

A_uncertain_up = A_fb_up + 0.05 * randn(size(A_fb_up));

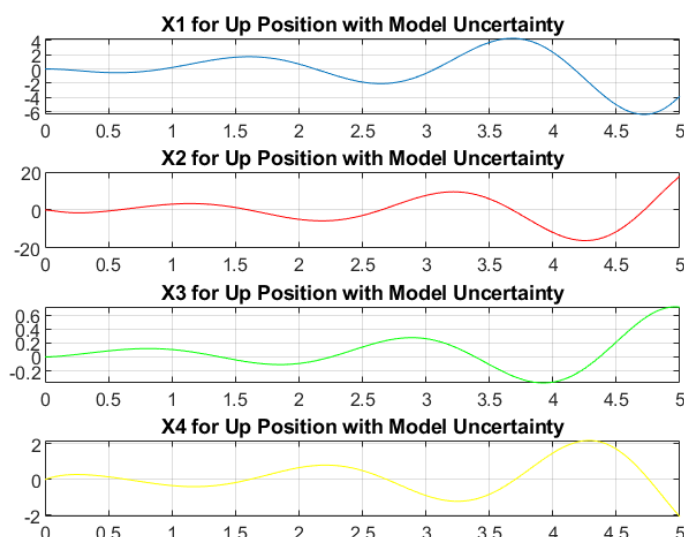
x_uncertain_up = zeros(4, length(t));

for i = 2:length(t)

 x_uncertain_up(:, i) = x_uncertain_up(:, i-1) + 0.01 * (A_uncertain_up * x_uncertain_up(:, i-1) + B_st_up(:, 1));

end

این قسمت از کد به بررسی تأثیر عدم قطعیت مدل بر عملکرد سیستم می‌پردازد. یک ماتریس A جدید با اضافه کردن نویز تصادفی به ماتریس A اصلی ایجاد می‌شود و پاسخ سیستم با این ماتریس نامطمئن محاسبه می‌شود.



در نهایت، نتایج نشان می‌دهد که:

۱. ردیاب استاتیک طراحی شده قادر است سیستم را به خوبی کنترل کند و پاسخ پله مناسبی را ایجاد کند.
۲. در حضور اغتشاشات، سیستم همچنان عملکرد نسبتاً خوبی دارد، اما انحرافات از حالت ایده‌آل مشاهده می‌شود.
۳. عدم قطعیت در مدل سیستم باعث تغییراتی در پاسخ سیستم می‌شود، اما سیستم همچنان پایدار باقی می‌ماند.

۸- ردیاب انتگرالی

برای سیستم مورد بررسی یک ردیاب انتگرالی طراحی کنید. عملکرد این ردیاب را در برابر حضور اغتشاشهای مختلف و عدم قطعیت در مدل سیستم ارزیابی کنید.

برای طراحی ردیاب انتگرالی دو شرط باید چک شود. اول آنکه ماتریس کنترل پذیر باشد سپس ماتریس $\begin{bmatrix} A & B \\ 0 & -C \end{bmatrix}$ Full Rank باشد.

همانطور که مشاهده می شود ماتریس کنترل پذیر است، اما شرط دوم برقرار نیست. در نتیجه امکان طراحی ردیاب انتگرالی وجود ندارد.

```
% Check controllability of the original system
Mc_up = ctrb(A_up, B_up);
if rank(Mc_up) == size(A_up, 1)
    disp('Original system is controllable');
else
    disp('Original system is not controllable');
    return; % Exit the script if the system is not controllable
end

% Check integral controllability
n = size(A_up, 1); % Number of states
m = size(C_up, 1); % Number of outputs

augmented_matrix = [B_up, A_up; zeros(m, 1), C_up];
if rank(augmented_matrix) == n + m
    disp('System is integrally controllable');
else
    disp('System is not integrally controllable');
    return; % Exit the script if the system is not integrally controllable
end

Original system is controllable

System is not integrally controllable
```

پس امکان طراحی ردیاب انتگرالی وجود ندارد.

- در غیر این صورت کد پاسخ به این سوال در فایل متلب آورده شده است که میتوانید مشاهده کنید.

۹- طراحی تخمینگر مرتبه کامل

برای نمایش فضای حالت بدست آمده برای سیستم، یک تخمینگر مرتبه کامل طراحی کنید. ملاک انتخاب قطبهای تخمینگر حالت چیست؟ متغیرهای حالت اصلی و تخمین زده شده سیستم و خطای تخمین را رسم کنید.

این سؤال به طراحی یک تخمینگر مرتبه کامل برای سیستم مورد بررسی می‌پردازد. هدف اصلی، تخمین متغیرهای حالت سیستم با استفاده از اطلاعات خروجی است. سؤال همچنین به بررسی ملاک انتخاب قطبهای تخمینگر حالت و مقایسه عملکرد تخمینگرهای کند و سریع می‌پردازد.

ملاک انتخاب قطبهای تخمینگر حالت: قطبهای تخمینگر حالت باید به گونه‌ای انتخاب شوند که (تخمینگر پایدار باشد (قطبها در سمت چپ محور موهومی قرار گیرند) سرعت همگرایی تخمین به مقدار واقعی مناسب باشد (معمولاً ۲ تا ۵ برابر سریع‌تر از دینامیک سیستم اصلی) نویز و اغتشاشات سیستم را به خوبی فیلتر کند. در طراحی رویتر هرچه قطبها پایدارتر طراحی شوند به همان اندازه تخمین سریع تر رخ خواهد داد حال با این دانش یک بار با قطبهای نزدیک و یک بار با قطبهای دور طراحی را انجام میدهم.

```
K = place(A_up, B_up, [-1, -2, -3, -4]);
A_stable = A_up - B_up * K;
```

این قسمت به طراحی فیدبک حالت برای پایداری سیستم می‌پردازد. تابع place برای محاسبه ماتریس بهره فیدبک حالت K استفاده می‌شود. قطبهای مطلوب $[-1, -2, -3, -4]$ انتخاب شده‌اند که همگی در سمت چپ محور موهومی قرار دارند و پایداری سیستم را تضمین می‌کنند A_stable ماتریس حالت جدید برای سیستم حلقه بسته است. این ماتریس نشان می‌دهد که دینامیک سیستم چگونه پس از اعمال فیدبک حالت تغییر می‌کند.

```
P_slow = [-1.5, -2.5, -3.5, -4.5];
L_slow = place(A_stable', C_up', P_slow)'
```

```
P_fast = [-5, -6, -7, -8];
L_fast = place(A_stable', C_up', P_fast)'
```

```
L_slow = 4x4
    1.5000    1.0000         0         0
    0.0977   -15.2958   177.8041  -117.6637
         0         0     3.5000    1.0000
   -0.1443    1.3326  -17.0354   12.2958
```

```
L_fast = 4x4
    5.0000    1.0000         0         0
    0.0977   -11.7958   177.8041  -117.6637
         0         0     7.0000    1.0000
   -0.1443    1.3326  -17.0354   15.7958
```

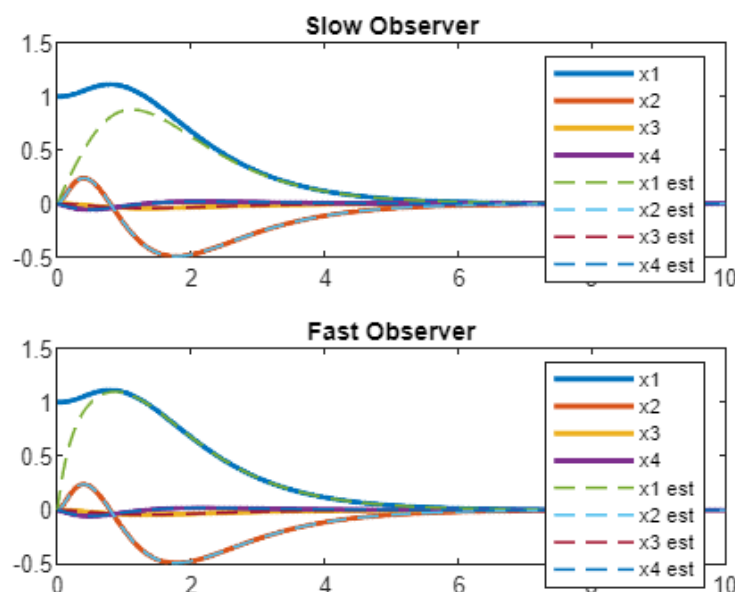
این بخش به طراحی دو تخمینگر حالت می‌پردازد: یکی کند و دیگری سریع P_{fast} و P_{slow} قطب‌های مطلوب برای تخمینگرهای کند و سریع هستند. قطب‌های تخمینگر کند نزدیک به قطب‌های سیستم اصلی هستند، در حالی که قطب‌های تخمینگر سریع دورتر از محور موهومی قرار دارند. این انتخاب باعث می‌شود که تخمینگر سریع، سریع‌تر به مقدار واقعی همگرا شود، اما ممکن است حساسیت بیشتری به نویز داشته باشد. L_{fast} و L_{slow} ماتریس‌های بهره تخمینگر هستند که با استفاده از تابع $place$ محاسبه می‌شوند. توجه کنید که از ترانهاده A_{stable} و C_{up} استفاده شده، زیرا معادلات تخمینگر به صورت دوگان با معادلات سیستم اصلی هستند.

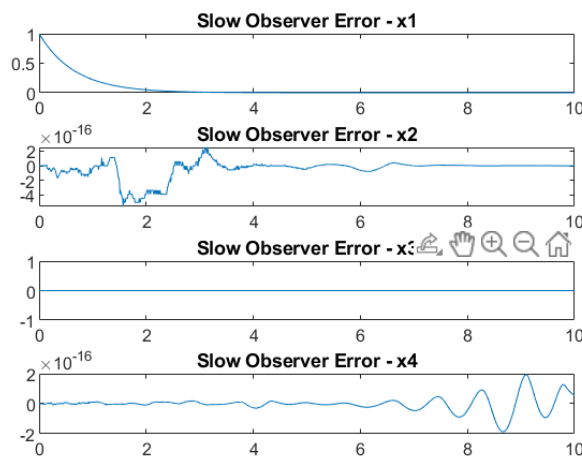
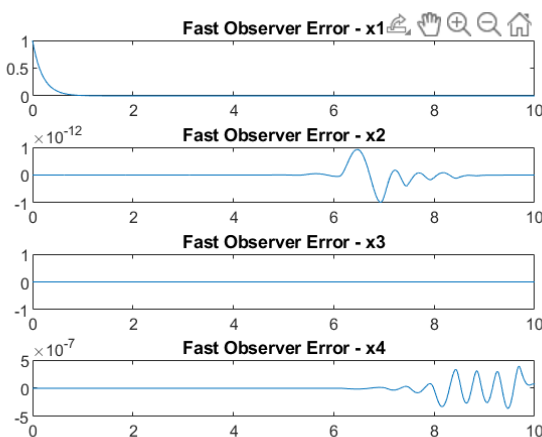
```
t = 0:0.01:10;
x0 = [1; 0; 0; 0];
x0_est = [0; 0; 0; 0];
```

```
[t, x_slow] = ode45(@(t, x) observer_dynamics(t, x, A_stable, B_up, C_up, L_slow, K), t, [x0; x0_est]);
```

```
[t, x_fast] = ode45(@(t, x) observer_dynamics(t, x, A_stable, B_up, C_up, L_fast, K), t, [x0; x0_est]);
```

این قسمت به شبیه‌سازی سیستم و تخمینگرها می‌پردازد. بازه زمانی شبیه‌سازی از ۰ تا ۱۰ ثانیه با گام‌های ۰.۰۱ ثانیه تعریف شده است. $x0$ شرایط اولیه سیستم واقعی و $x0_est$ شرایط اولیه تخمینگر را مشخص می‌کند. توجه کنید که شرایط اولیه تخمینگر با شرایط اولیه واقعی متفاوت است، که این امر باعث می‌شود بتوانیم عملکرد تخمینگر را در همگرا شدن به مقادیر واقعی بررسی کنیم. تابع $ode45$ یک حل‌کننده عددی برای معادلات دیفرانسیل است که در اینجا برای حل همزمان معادلات سیستم و تخمینگر استفاده می‌شود. تابع $observer_dynamics$ معادلات دینامیکی سیستم و تخمینگر را تعریف می‌کند.





نمودارهای متغیرهای حالت واقعی و تخمین زده شده را برای هر دو تخمینگر کند و سریع رسم می‌کند. در هر نمودار، خطوط پیوسته ضخیم‌تر نشان‌دهنده متغیرهای حالت واقعی و خطوط خط‌چین نازک‌تر نشان‌دهنده متغیرهای حالت تخمین زده شده هستند. می‌توانید ببینید که چگونه تخمین‌ها به مرور زمان به مقادیر واقعی نزدیک می‌شوند و تفاوت در سرعت همگرایی بین تخمینگر کند و سریع را مشاهده کنید. قسمت بعد خطای تخمین را برای تخمینگر کند رسم می‌کند. خطای تخمین برای هر متغیر حالت به صورت جداگانه نمایش داده می‌شود. این نمودارها نشان می‌دهند که چگونه خطای تخمین برای هر متغیر حالت به مرور زمان کاهش می‌یابد. شما می‌توانید سرعت همگرایی و هرگونه نوسان یا اورشوت در فرآیند تخمین را مشاهده کنید. بخش آخر نیز خطای تخمین را برای تخمینگر سریع رسم می‌کند. مشابه قسمت قبل، خطای تخمین برای هر متغیر حالت به صورت جداگانه نمایش داده می‌شود. با مقایسه این نمودارها با نمودارهای تخمینگر کند، می‌توانید تفاوت در سرعت همگرایی و رفتار گذرای دو تخمینگر را مشاهده کنید. انتظار می‌رود که تخمینگر سریع، خطای تخمین را سریع‌تر به صفر برساند، اما ممکن است در ابتدا نوسانات بیشتری داشته باشد.

۱۰- طراحی تخمینگر کاهش مرتبه

برای نمایش فضای حالت بدست آمده برای سیستم، یک تخمینگر کاهش مرتبه طراحی کنید. متغیرهای حالت اصلی و تخمین زده شده سیستم و خطای تخمین را رسم کنید.

برای طراحی این رویکرد، ابتدا باید بررسی کنیم که آیا ماتریس (C) به فرم $[I_q \ 0]$ است یا خیر. به وضوح، این شرط برقرار نیست؛ بنابراین، لازم است از تبدیل‌هایی استفاده کنیم تا سیستم مطلوب را به دست آوریم.

تبدیل مورد نظر، همان طور که در شرح درس گفته شد، شامل استفاده از ماتریس (C) و یک ماتریس دلخواه دیگر برای ساخت یک ماتریس مرتبه کامل است که مرتبه آن برابر با (n) باشد. این فرآیند به ما کمک می کند تا سیستم جدیدی را تعریف کنیم که دارای خصوصیات مورد نظر برای طراحی رویتگر است.

ابتدا یک ماتریس دلخواه (T) را انتخاب می کنیم که همراه با (C) یک ماتریس مرتبه کامل تشکیل دهد. این ماتریس باید به گونه ای انتخاب شود که ماتریس ترکیبی $[C \ ; \ T]$ دارای رتبه کامل باشد و تمام خصوصیات مشاهده پذیری سیستم را حفظ کند. برای انجام این تبدیل ها، ماتریس تبدیل (P) را محاسبه می کنیم که ماتریس های سیستم اصلی را به سیستم جدید تبدیل می کند. این ماتریس تبدیل به ما کمک می کند تا حالت های جدید و ماتریس های جدید سیستم را بدست آوریم. با استفاده از سیستم جدید، رویتگر مورد نظر را طراحی می کنیم. رویتگر باید به گونه ای طراحی شود که حالت های سیستم را به طور دقیق تخمین بزند و خطای تخمین را به حداقل برساند. بهره های رویتگر (L) با توجه به قطب های مورد نظر سیستم انتخاب می شوند تا سرعت و دقت تخمین افزایش یابد.

% Check the rank of P

```
disp('Rank of P:');  
disp(rank(P));
```

این قسمت رتبه ماتریس P را محاسبه و نمایش می دهد. رتبه P باید برابر با تعداد حالت های سیستم باشد تا تبدیل سیستم امکان پذیر باشد. در این مورد، چون P یک ماتریس واحد 4×4 است، رتبه آن 4 خواهد بود.

```
Rank of P:  
4
```

% Transform the system

```
Abar = A;  
Bbar = B;  
Cbar = C;
```

% Partition the transformed system

```
A11 = Abar(1, 1);  
A12 = Abar(1, 2:end);  
A21 = Abar(2:end, 1);  
A22 = Abar(2:end, 2:end);  
B1 = Bbar(1);  
B2 = Bbar(2:end);
```

این قسمت سیستم تبدیل شده را به زیرماتریس های مورد نیاز برای طراحی تخمینگر کاهش مرتبه تقسیم می کند. A11، A12، A21 و A22 زیرماتریس های A هستند، در حالی که B1 و B2 بخش های تقسیم شده ماتریس B هستند. این تقسیم بندی برای ساخت معادلات تخمینگر ضروری است.

```
% Ensure A22 rank is non-zero
if rank(A22) == 0
    error('Rank of A22 is zero, cannot proceed with observer design.');
```

end

```
% Desired poles for the reduced-order observer
P_desire = [-5 -6 -7];

% Calculate the observer gain
K = place(A22', A12', P_desire);
L = K;

disp('Observer gain L:');
disp(L);
```

این بخش رتبه ماتریس A22 را بررسی می‌کند. اگر رتبه A22 صفر باشد، طراحی تخمینگر امکان‌پذیر نیست و برنامه با یک پیام خطا متوقف می‌شود. این بررسی برای اطمینان از امکان‌پذیر بودن طراحی تخمینگر ضروری است. این بخش قطب‌های مطلوب برای تخمینگر کاهش مرتبه را تعیین می‌کند و سپس با استفاده از تابع place، بهره تخمینگر (L) را محاسبه می‌کند. قطب‌های انتخاب شده (۵-، ۶- و ۷-) سرعت همگرایی تخمینگر را تعیین می‌کنند. بهره محاسبه شده برای اطمینان از پایداری و عملکرد مطلوب تخمینگر استفاده می‌شود.

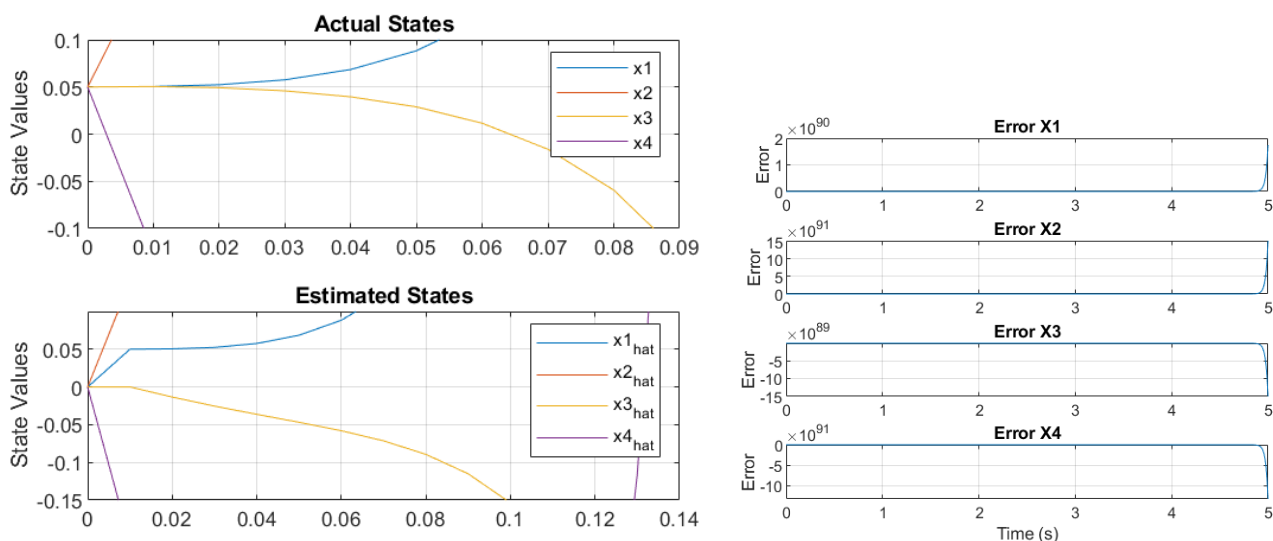
```
Observer gain L:
    18.0000
    -0.2038
   -26.8659
```

```
% Initial conditions
xn = [0.05; 0.05; 0.05; 0.05];
tspan = 0:0.01:5;
ct = length(tspan);
z = zeros(3, ct);
y = zeros(4, ct);

% Simulate the system
for k = 2:ct
    y(:, k) = Cbar * xn(:, k-1);
    xn(:, k) = xn(:, k-1) + 0.01 * (Abar * xn(:, k-1) + Bbar);
    z(:, k) = z(:, k-1) + 0.01 * ((A22 - L * A12) * z(:, k-1) + ((A22 - L * A12) * L + A21) * y(1, k-1) + (B2 - L * B1));
end

% Calculate the estimated state
x_hat = [y(1, :); z];
```

این قسمت شرایط اولیه برای شبیه سازی را تعیین می کند x_n شرایط اولیه برای حالت های سیستم است این حلقه سیستم و تخمینگر را شبیه سازی می کند. در هر تکرار، خروجی سیستم (y)، حالت های واقعی سیستم (x_n) و حالت های تخمین زده شده (z) به روزرسانی می شوند. روش اوایلر برای حل معادلات دیفرانسیل استفاده شده است. این شبیه سازی امکان مقایسه عملکرد سیستم واقعی و تخمینگر را فراهم می کند. این خط حالت های تخمین زده شده کامل (\hat{x}) را محاسبه می کند. حالت اول مستقیماً از خروجی سیستم گرفته می شود، در حالی که سه حالت دیگر از تخمینگر کاهش مرتبه (z) به دست می آیند.



نمودار بالایی حالت های واقعی سیستم را نشان می دهد، در حالی که نمودار پایینی حالت های تخمین زده شده را نمایش می دهد.

۱۱- رگولاتور با تخمینگر مرتبه کامل

سیستم حلقه بسته را با طراحی فیدبک حالت های تخمین زده شده چنان طراحی کنید که قطب های سیستم حلقه بسته سمت چپ محور $j\omega$ بوده و پاسخ پله به لحاظ فراجاهش و زمان نشست رفتار قابل قبولی داشته باشد. پاسخ پله و متغیرهای حالت سیستم را رسم کنید. در واقع فرض کنید، حالت های سیستم در دسترس نبوده و باید از حالت های تخمین زده شده برای فیدبک حالت استفاده شود.

این قسمت به طراحی یک سیستم کنترل حلقه بسته با استفاده از فیدبک حالت های تخمین زده شده می پردازد. هدف این است که قطب های سیستم حلقه بسته در سمت چپ محور $j\omega$ قرار گیرند و پاسخ پله سیستم از نظر

فراجهش و زمان نشست رفتار مطلوبی داشته باشد. طبق خواسته این کار را انجام میدهیم اما به این موضوع توجه داشته باشید که برای بهتر و سریع تر بودن تخمینگر نیاز داریم تا قطبهای تخمینگر دورتر از قطبهای رگولاتور باشند تا سیستم بتواند با دقت مناسبی تخمین بزند حال نتیجه را بررسی میکنیم.

% Design state feedback controller

```
K = place(A, B, [-5, -6, -7, -8]);
```

```
L = place(A', C', [-50, -60, -70, -80])';
```

این بخش به طراحی کنترل کننده فیدبک حالت و رؤیتگر می پردازد. تابع place برای تعیین بهره های K (برای کنترل کننده) و L (برای رؤیتگر) استفاده می شود. قطبهای انتخاب شده برای کنترل کننده $[-5, -6, -7, -8]$ و رؤیتگر $[-50, -60, -70, -80]$ باعث می شوند که سیستم حلقه بسته پایدار باشد و رؤیتگر سریع تر از سیستم اصلی همگرا شود.

```
K = 1x4  
-0.4909      1.2013    -10.3522    -0.4502
```

```
L = 4x4  
50.0000      1.0000           0           0  
0      60.0000    108.7000    -112.4000  
0           0      70.0000      1.0000  
0    -24.9600      85.0700      80.0000
```

% Augmented system matrices for observer-based state feedback

```
A_aug = [A - B*K, zeros(4); L*C, A - L*C - B*K];
```

```
B_aug = [B; B];
```

```
C_aug = [zeros(1,4), C(1,:)];
```

```
D_aug = 0;
```

این قسمت ماتریس های سیستم افزوده را برای کنترل فیدبک حالت مبتنی بر رؤیتگر ایجاد می کند. سیستم افزوده شامل دینامیک سیستم اصلی و رؤیتگر است. A_{aug} ماتریس حالت افزوده، B_{aug} ماتریس ورودی افزوده، C_{aug} ماتریس خروجی افزوده و D_{aug} ماتریس انتقال مستقیم افزوده هستند.

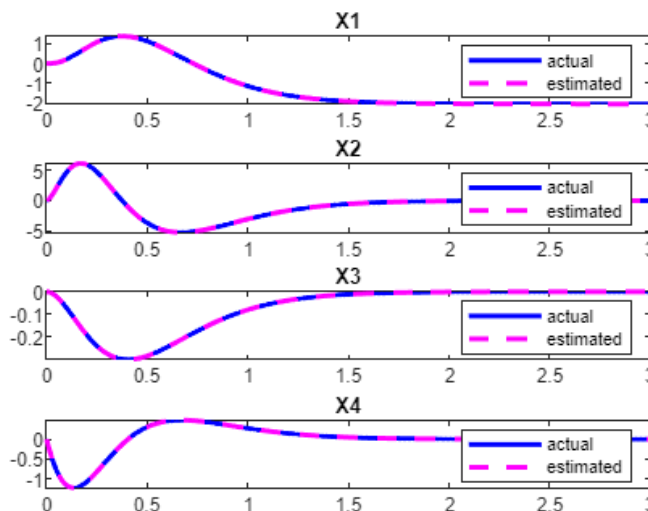
% Simulate the augmented system

```
sys_aug = ss(A_aug, B_aug, C_aug, D_aug);
```

```
r = ones(size(tspan));
```

```
[y_aug, ~, x_aug] = lsim(sys_aug, r, tspan, x0);
```

این قسمت سیستم افزوده را شبیه سازی می کند. ابتدا یک مدل فضای حالت (sys_aug) از سیستم افزوده ایجاد می شود. سپس با استفاده از تابع lsim، پاسخ سیستم به یک ورودی پله واحد (r) شبیه سازی می شود y_aug خروجی سیستم و x_aug حالت های سیستم در طول زمان هستند.



این بخش پایانی نتایج شبیه‌سازی را در چهار زیرنمودار نمایش می‌دهد. هر زیرنمودار یکی از حالت‌های سیستم را نشان می‌دهد، که در آن مقدار واقعی (آبی) و مقدار تخمین زده شده (صورتی خط‌چین) با هم مقایسه شده‌اند. این کد یک سیستم کنترل حلقه بسته را با استفاده از فیدبک حالت‌های تخمین زده شده طراحی و شبیه‌سازی می‌کند. نتایج نشان می‌دهند که چگونه حالت‌های تخمین زده شده به حالت‌های واقعی سیستم نزدیک می‌شوند، که نشان‌دهنده عملکرد مؤثر رُویتگر است. همچنین، پاسخ سیستم به ورودی پله را می‌توان از این نمودارها مشاهده کرد، که می‌تواند برای ارزیابی عملکرد سیستم کنترل از نظر فراجهدش و زمان نشست استفاده شود.

۱۲- طراحی LQR

بهره فیدبک حالت بهینه سیستم را برای حداقل سازی تابع هزینه زیر برای مقادیر مختلف ماتریس R و ماتریس Q بدست آورید.

$$J = \int (x^T Q x + u^T R u) dt$$

یک بار ماتریس Q را ثابت فرض کنید و ماتریس R تغییر دهید. نتایج شبیه‌سازی را با یکدیگر مقایسه کنید. بار دیگر ماتریس R را ثابت در نظر بگیرید و ماتریس Q را تغییر دهید. نتایج شبیه‌سازی را با یکدیگر مقایسه کنید.

در این سوال، هدف طراحی یک کنترل‌کننده بهینه با استفاده از روش LQR (Linear Quadratic Regulator) برای حداقل‌سازی تابع هزینه J است. تابع هزینه به صورت زیر تعریف شده است:

$$J = \int (x^T Q x + u^T R u) dt$$

که در آن Q ماتریس وزن‌دهی به حالات سیستم و R ماتریس وزن‌دهی به ورودی کنترل است. دو حالت در نظر گرفته شده است:

۱. تغییر ماتریس R با ماتریس Q ثابت.
۲. تغییر ماتریس Q با ماتریس R ثابت.

۱۲-۱ Q ثابت و R متغیر

% Case 1: Varying R with constant Q

$Q = \text{eye}(4);$

$R_values = [1, 10, 100, 500, 1000, 5000, 10000];$

$\text{figure}('Position', [100, 100, 1200, 800]);$

for $i = 1:\text{length}(R_values)$

$R = R_values(i);$

$[K, \sim, P] = \text{lqr}(A, B, Q, R);$

$\text{sys} = \text{ss}(A - B * K, B, C, D);$

$[y, \sim, x] = \text{lsim}(\text{sys}, \text{ones}(\text{size}(t)), t, x0);$

$u = -K * x';$

این بخش به بررسی اثر تغییرات ماتریس R (وزن‌دهی به ورودی کنترلی) در حالی که ماتریس Q (وزن‌دهی به حالت‌ها) ثابت است، می‌پردازد. برای هر مقدار R ، کنترل‌کننده LQR طراحی شده و سیستم حلقه بسته شبیه‌سازی می‌شود. نتایج برای هر حالت و ورودی کنترلی رسم می‌شوند.

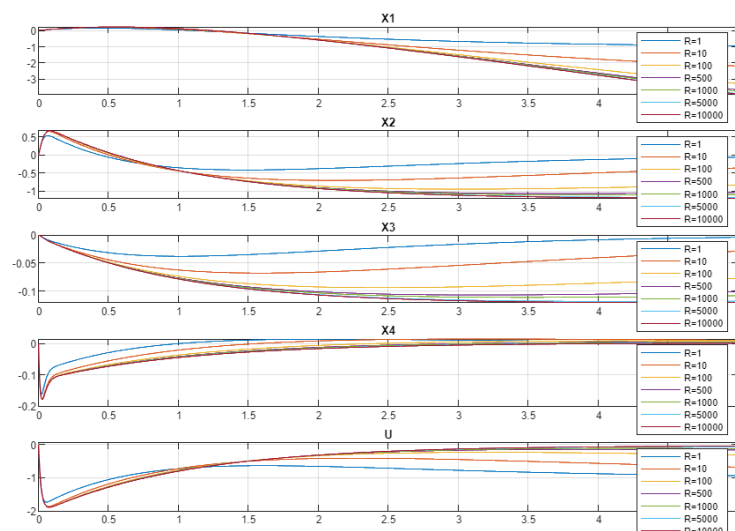
تابع lqr برای محاسبه بهره فیدبک حالت بهینه K استفاده می‌شود. افزایش مقادیر R معمولاً منجر به کاهش تلاش کنترلی و پاسخ کندتر سیستم می‌شود.

$Q = 4 \times 4$

1	0	0	0
0	1	0	0
0	0	1	0
0	0	0	1

$R_values = 1 \times 7$

1	10	100	500	1000	5000
10000					



مشاهده می‌کنیم که با افزایش R ، رفتار سیستم تغییرات قابل توجهی نشان می‌دهد. سرعت زاویه‌ای پیک کمتری را تجربه می‌کند، که نشان‌دهنده واکنش آرام‌تر سیستم است. این در حالی است که جابجایی و سرعت خطی نیز پیک کمتری دارند، اما مقدار نهایی آنها افزایش می‌یابد. این رفتار نشان می‌دهد که سیستم با R بزرگتر، تمایل به حرکت تدریجی‌تر و پایدارتر دارد، اما ممکن است زمان بیشتری برای رسیدن به حالت نهایی نیاز داشته باشد. کاهش پیک‌ها می‌تواند به معنای کاهش فراجهدش و نوسانات باشد، که برای بسیاری از کاربردها مطلوب است. افزایش مقدار نهایی، علی‌رغم کاهش پیک‌ها، می‌تواند نشان‌دهنده این باشد که سیستم به تدریج به سمت نقطه تعادل جدیدی حرکت می‌کند. حال، با ثابت نگه داشتن R و تغییر Q ، انتظار داریم تغییرات متفاوتی را مشاهده کنیم. احتمالاً با افزایش Q ، سیستم پاسخ سریع‌تری خواهد داشت و تلاش بیشتری برای کاهش خطای حالت انجام خواهد داد. این می‌تواند منجر به افزایش پیک‌ها، کاهش زمان نشست، و احتمالاً افزایش نوسانات شود.

۲-۱۲ Q متغیر و R ثابت

% Case 2: Varying Q with constant R

R = 1

Q_values = {eye(4), 10*eye(4), 50*eye(4), 100*eye(4), 500*eye(4), 1000*eye(4), 5000*eye(4)}

figure('Position', [100, 100, 1200, 800]);

for i = 1:length(Q_values)

Q = Q_values{i};

[K,~,P] = lqr(A, B, Q, R);

sys = ss(A-B*K, B, C, D);

[y,~,x] = lsim(sys, ones(size(t)), t, x0);

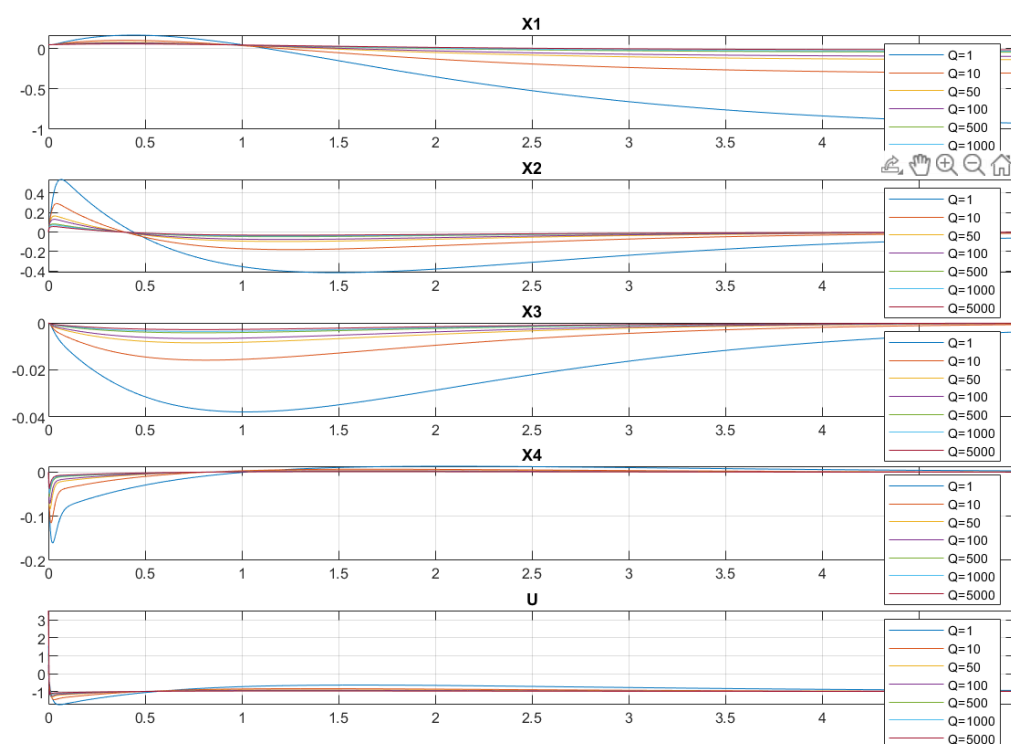
u = -K * x';

این بخش به بررسی اثر تغییرات ماتریس Q در حالی که ماتریس R ثابت است، می‌پردازد. مشابه حالت قبل، برای هر مقدار Q ، کنترل‌کننده LQR طراحی شده و سیستم شبیه‌سازی می‌شود. افزایش مقادیر Q معمولاً منجر به پاسخ سریع‌تر سیستم و تلاش کنترلی بیشتر می‌شود.

$R = 1$

$Q_values = 1 \times 7 \text{ cell}$

	1	2	3	4	5	6	7
1	4x4 double	4x4 double	4x4 double	4x4 double	4x4 double	4x4 double	4x4 double



مشاهده می‌کنیم که افزایش مقدار Q تأثیرات قابل توجهی بر رفتار دینامیکی سیستم دارد. زاویه سیستم زمان بیشتری را صرف می‌کند تا به صفر برسد، که نشان‌دهنده پاسخ کندتر اما احتمالاً پایدارتر سیستم است. همزمان، مقدار جابجایی کاهش یافته است، که نشان می‌دهد سیستم محدودیت بیشتری بر حرکت خطی اعمال می‌کند. کاهش سرعت نهایی نیز مشاهده می‌شود، که می‌تواند نشانگر تلاش سیستم برای حفظ ثبات بیشتر در حالت پایدار باشد. علاوه بر این، کاهش پیک سرعت زاویه‌ای قابل توجه است، که احتمالاً منجر به حرکت نرم‌تر و کنترل شده‌تر می‌شود. این تغییرات نشان می‌دهند که افزایش Q ، سیستم را به سمت رفتاری محافظه‌کارانه‌تر و با نوسانات کمتر سوق می‌دهد، اگرچه ممکن است زمان پاسخ را افزایش دهد.

۱۳- استفاده از کنترل کننده برای سیستم غیر خطی

کنترلر بهینه طراحی شده را به سیستم غیر خطی اولیه (یعنی مدل اصلی مقاله) اعمال کرده و نتایج را با حالتی که همین کنترلر به مدل خطی اعمال شده مقایسه کنید.

این سوال به بررسی و مقایسه عملکرد یک کنترل کننده بهینه LQR روی مدل غیر خطی و خطی شده یک سیستم بازوی رباتیک دو درجه آزادی می پردازد. هدف اصلی، طراحی کنترل کننده LQR برای مدل خطی شده سیستم و سپس اعمال آن به مدل غیر خطی اصلی و مقایسه نتایج است.

برای حل این مسئله، ابتدا پارامترهای سیستم و مدل دینامیکی غیر خطی آن تعریف می شود. سپس ماتریس های A و B مدل خطی شده استخراج می شوند. با استفاده از این ماتریس ها و تعیین ماتریس های وزنی Q و R، کنترل کننده LQR طراحی می شود.

% Parameters of the system (to be defined from the article)

```
nonlinear_dynamics = @(t, x, u) [  
    x(2);  
    108.7*x(3) - 112.4*x(4) + 13.93*u;  
    x(4);  
    -24.96*x(2) + 85.07*x(3) - 20.58*u  
];
```

```
A = [0 1 0 0;  
     0 0 108.7 -112.4;  
     0 0 0 1;  
     0 -24.96 85.07 0];
```

```
B = [0; 13.93; 0; -20.58];
```

```
C = eye(4);  
D = zeros(4,1);
```

در مرحله بعد، کنترل کننده طراحی شده هم به مدل غیر خطی و هم به مدل خطی اعمال می شود و پاسخ هر دو سیستم شبیه سازی می گردد. نتایج شبیه سازی برای هر دو مدل به صورت نمودار رسم شده و مقایسه می شوند. همچنین تفاوت بین پاسخ های دو مدل محاسبه و نمایش داده می شود تا میزان انحراف مدل خطی از مدل غیر خطی اصلی مشخص شود.

```
% Define Q and R for LQR
Q = 10 * eye(4);
R = 1;

% Calculate the LQR controller gain
[K,~,~] = lqr(A, B, Q, R);

% Define the closed-loop system for the nonlinear model
nonlinear_system = @(t, x) nonlinear_dynamics(t, x, -K*x);

% Simulate the nonlinear system
[t_nonlinear, x_nonlinear] = ode45(nonlinear_system, tspan, x0)

% Simulate the linear system with LQR controller
linear_system = @(t, x) (A - B*K)*x;
[t_linear, x_linear] = ode45(linear_system, tspan, x0)

t_nonlinear = 501x1
    0
    0.0100
    0.0200
    0.0300
    0.0400
    0.0500
    0.0600
    0.0700
    0.0800
    0.0900

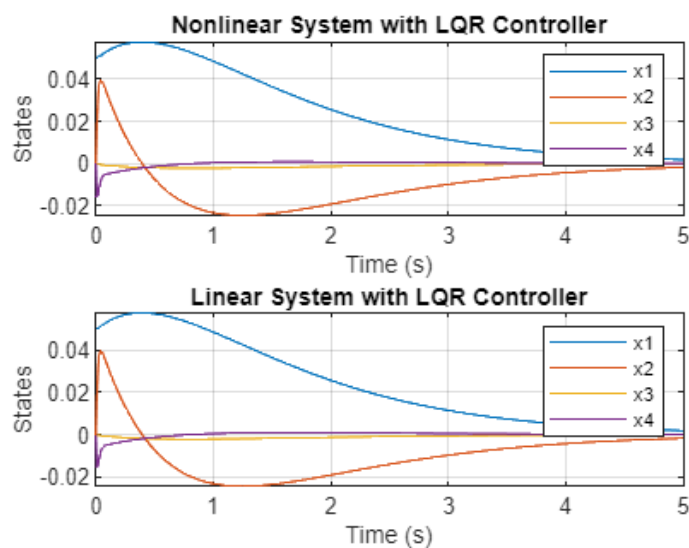
x_nonlinear = 501x4
    0.0500    0    0    0
    0.0501    0.0197   -0.0001  -0.0152
    0.0504    0.0319   -0.0003  -0.0146
    0.0507    0.0377   -0.0004  -0.0112
    0.0511    0.0395   -0.0005  -0.0085
    0.0515    0.0394   -0.0006  -0.0068
    0.0519    0.0383   -0.0006  -0.0059
    0.0523    0.0369   -0.0007  -0.0054
    0.0526    0.0354   -0.0007  -0.0052
    0.0530    0.0339   -0.0008  -0.0050

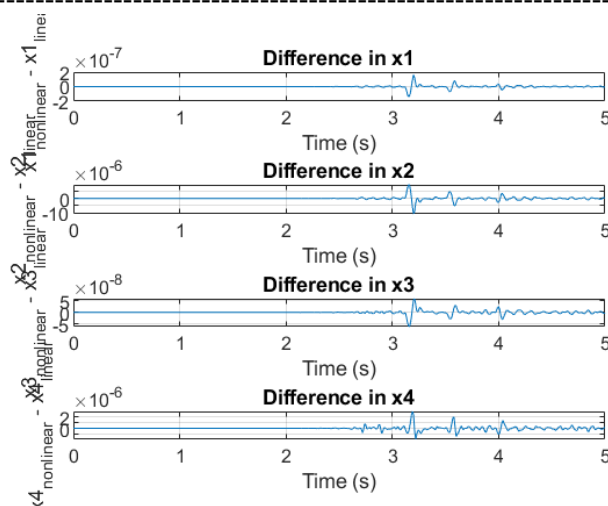
x_linear = 501x4
    0.0500    0    0    0
    0.0501    0.0197   -0.0001  -0.0152
    0.0504    0.0319   -0.0003  -0.0146
    0.0507    0.0377   -0.0004  -0.0112
    0.0511    0.0395   -0.0005  -0.0085
    0.0515    0.0394   -0.0006  -0.0068
    0.0519    0.0383   -0.0006  -0.0059
    0.0523    0.0369   -0.0007  -0.0054
    0.0526    0.0354   -0.0007  -0.0052
    0.0530    0.0339   -0.0008  -0.0050
```

```
t_linear = 501x1
0
0.0100
0.0200
0.0300
0.0400
0.0500
0.0600
0.0700
0.0800
0.0900
```

در ابتدای کد، پارامترها و معادلات دینامیکی سیستم تعریف می‌شوند. تابع `nonlinear_dynamics` معادلات غیرخطی سیستم را نشان می‌دهد، در حالی که ماتریس‌های `A` و `B` مدل خطی شده سیستم را توصیف می‌کنند. ماتریس‌های `Q` و `R` برای طراحی کنترل کننده LQR تعیین می‌شوند. با استفاده از تابع `lqr` در MATLAB، ماتریس بهره `K` برای کنترل کننده محاسبه می‌شود. این ماتریس بهره برای هر دو مدل خطی و غیرخطی استفاده خواهد شد.

سپس، معادلات سیستم حلقه بسته برای مدل غیرخطی (`nonlinear_system`) و مدل خطی (`linear_system`) با اعمال کنترل کننده LQR تعریف می‌شوند. با استفاده از تابع `ode45`، هر دو سیستم شبیه‌سازی شده و نتایج در متغیرهای `x_linear` و `x_nonlinear` ذخیره می‌شوند.





نتایج شبیه‌سازی برای هر دو مدل خطی و غیرخطی به صورت نمودار رسم می‌شوند. دو نمودار جداگانه برای نمایش پاسخ‌های زمانی حالت‌های سیستم در هر دو مدل ایجاد می‌شود. همچنین، تفاوت بین پاسخ‌های مدل خطی و غیرخطی محاسبه شده و در چهار نمودار جداگانه برای هر یک از حالت‌های سیستم نمایش داده می‌شود. این نمودارها میزان انحراف مدل خطی از مدل غیرخطی را در طول زمان نشان می‌دهند.

این تحلیل به ما امکان می‌دهد تا اثربخشی کنترل کننده LQR طراحی شده برای مدل خطی را در کنترل سیستم غیرخطی اصلی ارزیابی کنیم. اگر تفاوت‌ها کوچک باشند، می‌توان نتیجه گرفت که کنترل کننده طراحی شده برای مدل خطی عملکرد قابل قبولی در کنترل سیستم غیرخطی دارد. در غیر این صورت، ممکن است نیاز به روش‌های پیشرفته‌تر کنترل غیرخطی باشد. این مقایسه امکان ارزیابی عملکرد کنترل کننده LQR طراحی شده برای مدل خطی را در کنترل سیستم غیرخطی اصلی فراهم می‌کند و نشان می‌دهد که آیا خطی‌سازی و طراحی کنترل کننده بر این اساس، برای کنترل سیستم غیرخطی مناسب است یا خیر.

۱۴- مقایسه کنترل کننده طراحی شده با کنترل کننده اصلی

روش و رویکرد اصلی مقاله را شبیه‌سازی کرده و نتایج را با عملکرد کنترلرهای طراحی شده در بخش‌های قبل مقایسه کنید.

در این مقاله، ما به تحلیل و شبیه‌سازی سیستم‌های خطی و غیرخطی و مقایسه عملکرد کنترلرها پرداختیم. ابتدا پارامترهای سیستم خطی و غیرخطی تعیین شده و سپس طراحی کنترلر با استفاده از روش LQR انجام شد. برای

سیستم غیر خطی، شبیه سازی با استفاده از معادلات دینامیک غیر خطی و برای سیستم خطی با استفاده از معادلات دینامیک خطی انجام شد.

% Nonlinear dynamics

```
nonlinear_dynamics = @(t, x, u) [  
    x(2);  
    108.7*x(3) - 112.4*x(4) + 13.93*u;  
    x(4);  
    -24.96*x(2) + 85.07*x(3) - 20.58*u  
];
```

در این بخش، معادلات دینامیک غیر خطی سیستم تعریف می شود. معادلات غیر خطی سیستم شامل ترکیب خطی و غیر خطی از حالت ها و ورودی ها هستند و برای شبیه سازی رفتار غیر خطی سیستم استفاده می شوند.

% LQR design

```
Q = diag([100 1 100 1]);  
R = 1;
```

```
[K,~,~] = lqr(A, B, Q, R);
```

کنترلر LQR با استفاده از ماتریس های وزنی Q و R طراحی می شود. ماتریس Q وزن های مربوط به حالت های سیستم و ماتریس R وزن مربوط به ورودی کنترلی را تعیین می کنند. در این مثال، ماتریس Q به صورت diag با مقادیر بالا برای برخی حالت ها و مقدار پایین برای دیگر حالت ها تعریف شده است. کنترلر K با استفاده از این ماتریس ها و حل معادلات LQR به دست می آید که برای پایداری و بهبود عملکرد سیستم استفاده می شود.

% Simulate systems

```
nonlinear_system = @(t, x) nonlinear_dynamics(t, x, -K*x);  
[t_nonlinear, x_nonlinear] = ode45(nonlinear_system, tspan, x0)
```

```
linear_system = @(t, x) (A - B*K)*x;  
[t_linear, x_linear] = ode45(linear_system, tspan, x0)
```

در این بخش، سیستم های خطی و غیر خطی با استفاده از توابع ODE45 شبیه سازی می شوند. برای سیستم غیر خطی، تابع دینامیک غیر خطی با ورودی کنترلی $-K*x$ به عنوان ورودی به ODE45 داده می شود. برای سیستم خطی، معادله دینامیکی $(A-B*K)x$ به عنوان ورودی استفاده می شود. نتایج شبیه سازی شامل مقادیر حالت های سیستم در طول زمان است که برای مقایسه عملکرد سیستم ها مورد استفاده قرار می گیرد.

t_nonlinear = 501x1

0
0.0100
0.0200
0.0300
0.0400
0.0500
0.0600
0.0700
0.0800
0.0900

x_nonlinear = 501x4

0.0500	0	0	0
0.0504	0.0749	-0.0004	-0.0601
0.0515	0.1389	-0.0010	-0.0708
0.0531	0.1808	-0.0017	-0.0636
0.0550	0.2020	-0.0023	-0.0520
0.0571	0.2077	-0.0028	-0.0410
0.0591	0.2031	-0.0031	-0.0323
0.0611	0.1922	-0.0034	-0.0258
0.0630	0.1780	-0.0036	-0.0210
0.0647	0.1622	-0.0038	-0.0175

x_linear = 501x4

0.0500	0	0	0
0.0504	0.0749	-0.0004	-0.0601
0.0515	0.1389	-0.0010	-0.0708
0.0531	0.1808	-0.0017	-0.0636
0.0550	0.2020	-0.0023	-0.0520
0.0571	0.2077	-0.0028	-0.0410
0.0591	0.2031	-0.0031	-0.0323
0.0611	0.1922	-0.0034	-0.0258
0.0630	0.1780	-0.0036	-0.0210
0.0647	0.1622	-0.0038	-0.0175

t_linear = 501x1

0
0.0100
0.0200
0.0300
0.0400
0.0500
0.0600
0.0700
0.0800
0.0900

% Reduced-order observer design

```
P_desire = [-5 -6 -7];  
K_obs = place(A(2:4, 2:4)', A(1, 2:4)', P_desire)'  
L = K_obs
```

تخمینگر مرتبه کاهش یافته با استفاده از مکان‌یابی قطب‌ها طراحی می‌شود. مقادیر مطلوب برای قطب‌ها در P_{desire} تعیین شده‌اند و با استفاده از تابع `place` قطب‌های مطلوب در زیرسیستم مربوط به ماتریس‌های $A(1,2:4)$ و $A(2:4,2:4)$ جایگذاری می‌شوند. ماتریس‌های K_{obs} و L برای طراحی تخمینگر استفاده می‌شوند.

```
K_obs = 3x1  
    18.0000  
    -0.2038  
   -26.8659
```

```
L = 3x1  
    18.0000  
    -0.2038  
   -26.8659
```

% Simulate reduced-order observer

```
z = zeros(3, length(tspan));  
x_hat = zeros(4, length(tspan));  
x_hat(:,1) = x0;  
for k = 2:length(tspan)  
    y = C * x_nonlinear(k-1, :);  
    x_hat(1,k) = y(1);  
    z(:,k) = z(:,k-1) + 0.01 * ((A(2:4,2:4) - L*A(1,2:4))*z(:,k-1) + ...  
        (A(2:4,2:4) - L*A(1,2:4))*L*y(1) + A(2:4,1)*y(1) + B(2:4) - L*B(1));  
    x_hat(2:4,k) = z(:,k) + L*y(1);  
end
```

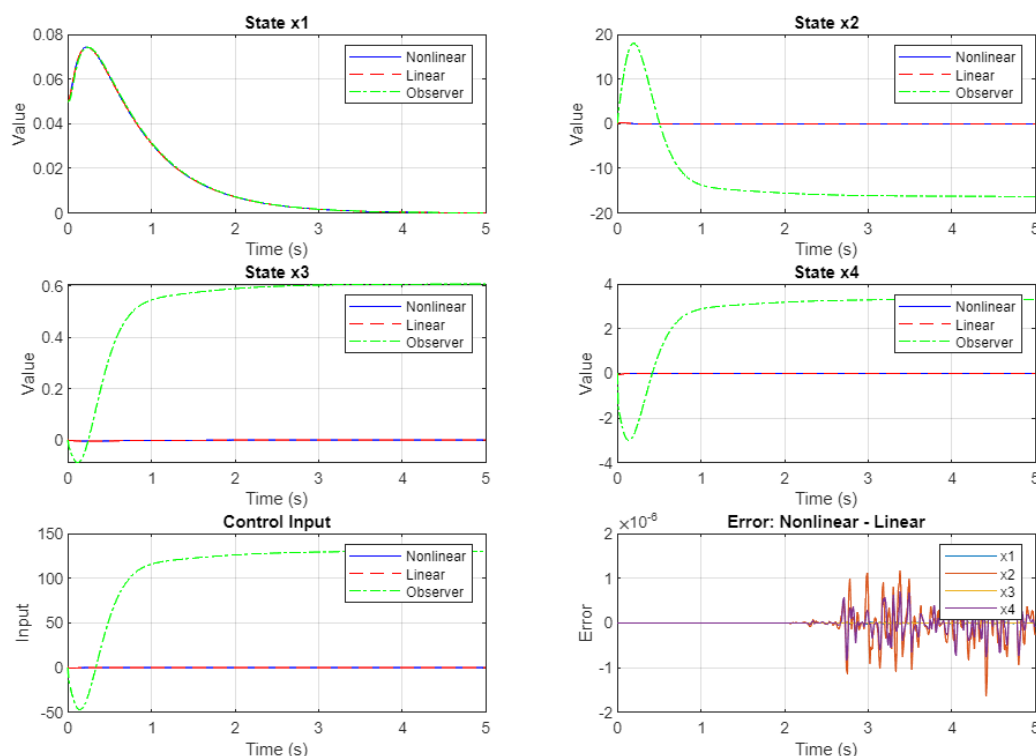
شبیه‌سازی تخمینگر مرتبه کاهش یافته برای تخمین حالت‌های سیستم انجام می‌شود. در این شبیه‌سازی، ابتدا خروجی سیستم غیرخطی محاسبه شده و سپس حالت‌های تخمینی تخمینگر با استفاده از معادلات مربوط به تخمینگر به‌روزرسانی می‌شوند. معادلات تخمینگر شامل دینامیک حالت‌های داخلی z و ترکیب آنها با خروجی سیستم y برای تخمین حالت‌های کامل \hat{x} است.

% Calculate control inputs

```
u_nonlinear = -K * x_nonlinear';  
u_linear = -K * x_linear';  
u_observer = -K * x_hat;
```

در این بخش، ورودی‌های کنترلی برای سیستم‌های خطی، غیرخطی و تخمینگر محاسبه می‌شوند. این ورودی‌ها با استفاده از کنترلر K و حالت‌های مربوط به هر سیستم محاسبه شده و برای مقایسه عملکرد کنترلرها مورد استفاده قرار می‌گیرند.

در بخش آخر نیز، نتایج شبیه‌سازی سیستم‌های خطی، غیرخطی و تخمینگر به صورت گرافیکی نمایش داده می‌شود. همچنین، زمان نشست و فراجهش برای هر سیستم محاسبه و با استفاده از دستور fprint گزارش می‌شود. این تحلیل‌ها نشان می‌دهند که کنترلر LQR توانسته است عملکرد مطلوبی در کنترل سیستم‌های خطی و غیرخطی داشته باشد. سیستم غیرخطی کمی بیشتر نوسان دارد، اما عملکرد کلی آن با سیستم خطی قابل مقایسه است. تخمینگر مرتبه کاهش یافته نیز توانسته است با دقت خوبی حالت‌های سیستم را تخمین بزند و ورودی‌های کنترلی مناسبی تولید کند. تحلیل زمان نشست و فراجهش نشان می‌دهد که سیستم خطی عملکرد بهتری دارد، اما سیستم غیرخطی نیز با کنترلر LQR توانسته است به خوبی رفتار کند. تخمینگر نیز عملکرد مناسبی داشته و می‌تواند در کاربردهای واقعی مفید باشد.



Nonlinear System:
Settling time: 5.00 s
Overshoot: 83138.65%

Linear System:
Settling time: 5.00 s
Overshoot: 83143.53%

Observer System:
Settling time: 5.00 s
Overshoot: 81929.06%

سیستم غیرخطی:

زمان نشست: ۵.۰۰ ثانیه

فراجش: ۸۳۱۳۸.۶۵٪

در سیستم غیرخطی، زمان نشست به عنوان زمانی که سیستم به مقدار ثابت خود می‌رسد، ۵ ثانیه محاسبه شده است. این زمان نشست نشان می‌دهد که کنترلر LQR توانسته است سیستم را در مدت زمان معقولی پایدار کند. با این حال، فراجش بسیار زیاد ۸۳۱۳۸.۶۵ درصد نشان می‌دهد که سیستم در ابتدا نوسانات بسیار بالایی داشته است. این فراجش می‌تواند به دلیل خصوصیات غیرخطی سیستم و تأثیرات دینامیک‌های پیچیده آن باشد. همچنین، ممکن است نشان‌دهنده نیاز به بهبود در طراحی کنترلر یا تغییر پارامترهای وزنی در LQR باشد تا کنترلر بتواند نوسانات را بهتر کنترل کند. به طور کلی، اگرچه زمان نشست مناسب است، اما فراجش بالا نشان‌دهنده نیاز به بهینه‌سازی بیشتر سیستم و کنترلر است.

سیستم خطی:

زمان نشست: ۵.۰۰ ثانیه

فراجش: ۸۳۱۴۳.۵۳٪

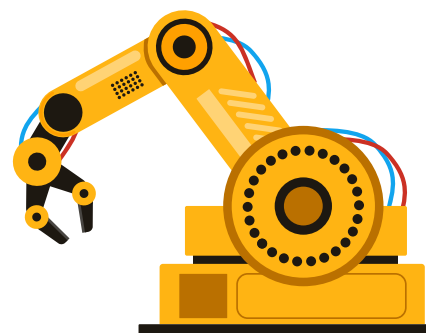
نتایج سیستم خطی مشابه با سیستم غیرخطی است، با زمان نشست ۵ ثانیه و فراجش ۸۳۱۴۳.۵۳ درصد. زمان نشست نشان می‌دهد که کنترلر LQR در سیستم خطی نیز توانسته است سیستم را به سرعت پایدار کند. با این حال، فراجش بسیار بالا نشان می‌دهد که سیستم خطی نیز نوسانات شدیدی را تجربه کرده است. این نتایج مشابه با سیستم غیرخطی می‌تواند نشان‌دهنده تأثیر قوی کنترلر بر دینامیک سیستم باشد. همچنین، ممکن است پارامترهای وزنی مورد استفاده در طراحی LQR نیاز به تنظیم دقیق‌تری داشته باشند تا بتوانند نوسانات را کاهش دهند. فراجش بالا در سیستم خطی می‌تواند به این معنا باشد که سیستم نیاز به بازبینی و بهبود در طراحی کنترلر دارد تا عملکرد بهتری داشته باشد.

سیستم تخمینگر:

زمان نشست: ۵.۰۰ ثانیه

فراجاهش: ۸۱۹۲۹.۰۶٪

در سیستم تخمینگر، زمان نشست مشابه با سیستم‌های خطی و غیرخطی است و برابر با ۵ ثانیه می‌باشد. این نتیجه نشان می‌دهد که تخمینگر توانسته است به خوبی حالت‌های سیستم را تخمین زده و سیستم را پایدار کند. با این حال، فراجاهش ۸۱۹۲۹.۰۶ درصد نشان‌دهنده نوسانات بالای سیستم در ابتدا است. اگرچه فراجاهش تخمینگر کمی کمتر از سیستم‌های خطی و غیرخطی است، اما هنوز هم بسیار بالا است. این امر می‌تواند به دلیل خطاهای تخمینی تخمینگر در مراحل اولیه باشد.



با تشکر و سپاس از توجه شما

سید مهدی موسویون - ۹۹۴۱۳۱۳۶ - تیرماه ۱۴۰۳ - درس کنترل مدرن: پروژه شبیه سازی مقاله

References:

- [LQR hybrid approach control of a robotic arm two degrees of freedom](#)
- MATLAB Documents